



Universidad Nacional
Autónoma de México

27
29

FACULTAD DE CIENCIAS

"MORFOLOGIA Y SISTEMATICA DEL GENERO Goscinodiscus
EHRENBURG (Bacillariophyceae), EN EL SUR DEL GOLFO
DE MEXICO".

TESIS

Que para obtener el Grado de

MAESTRO EN CIENCIAS

presenta

JOSE LUIS MORENO RUIZ

TESIS CON
FALLA DE ORIGEN



UNAM – Dirección General de Bibliotecas Tesis Digitales Restricciones de uso

DERECHOS RESERVADOS © PROHIBIDA SU REPRODUCCIÓN TOTAL O PARCIAL

Todo el material contenido en esta tesis está protegido por la Ley Federal del Derecho de Autor (LFDA) de los Estados Unidos Mexicanos (México).

El uso de imágenes, fragmentos de videos, y demás material que sea objeto de protección de los derechos de autor, será exclusivamente para fines educativos e informativos y deberá citar la fuente donde la obtuvo mencionando el autor o autores. Cualquier uso distinto como el lucro, reproducción, edición o modificación, será perseguido y sancionado por el respectivo titular de los Derechos de Autor.

INDICE

	Pag.
AGRADECIMIENTOS.....	i
RESUMEN.....	ii
INTRODUCCION.....	1
ANTECEDENTES.....	5
AREA DE ESTUDIO.....	8
MATERIAL Y METODOS.....	9
RESULTADOS.....	18
DISCUSION.....	38
CONCLUSIONES.....	59
LITERATURA CITADA.....	63
FIGURA 1. Campañas oceanográficas y localización de las estaciones de muestreo.....	72
FIGURA 2. Sección Valle de Diatomita.....	73
FIGURA 3. Sección San Felipe.....	73
FIGURA 4. Sección Arroyo Hondo.....	73
TABLA 1. Localización de las estaciones de muestreo de las campañas oceanográficas COSMA-71-04-COSMA 72-12, FBC-82-03.....	74
TABLA 2. Localización de las estaciones de muestreo de las campañas oceanográficas OGMEC I-V, VIII.....	75
TABLA 3. Datos morfométricos de <i>Coscinodiscus</i> <i>alboranii</i> Pavillard.....	76
TABLA 4. Datos morfometrivos de <i>Coscinodiscus</i> <i>asteromphalus</i> Ehrenberg.....	77
TABLA 5. Datos morfométricos de <i>Coscinodiscus</i> <i>centralis</i> Ehrenberg.....	78
TABLA 6. Datos morfométricos de <i>Coscinodiscus</i> <i>concinna</i>	79
TABLA 7. Datos morfométricos de <i>Coscinodiscus</i> <i>jonesianus</i> (Greville) Ostenfeld.....	80
TABLA 8. Datos morfométricos de <i>Coscinodiscus</i> <i>marginatus</i> Ehrenberg.....	81
TABLA 9. Datos morfométricos de <i>Coscinodiscus</i> <i>perforatus</i> var. <i>cellulosa</i> Grunow.....	82
TABLA 10. Datos morfométricos de <i>Coscinodiscus</i> <i>perforatus</i> var. <i>pavillardii</i> (Forti) Hustedt.....	83
TABLA 11. Datos morfométricos de <i>Coscinodiscus</i> <i>radiatus</i> Ehrenberg.....	84
TABLA 12. Datos morfométricos de <i>Coscinodiscus</i> <i>rothii</i> Ehrenberg.....	85
FIGURAS 5-151.....	86-113

RESUMEN

Las diatomeas centrales del género *Coscinodiscus* presentan grandes problemas, tanto en su aspecto genérico como específico; en el primer caso debido a que cuando se erigió no se designó a la especie tipo; y en el segundo, porque diversas especies poseen características morfológicas similares. Por lo mismo, en el presente trabajo se llevó a efecto el análisis de su morfología y sistemática, primordialmente con la utilización de material del Reciente recolectado en el sur del Golfo de México y, como parte complementaria por el estudio de algunos ejemplares fósiles procedentes de Valle de diatomita, Bahía Asunción, Baja California Sur; San Felipe, Baja California y Arroyo Hondo, isla María Madre, Nayarit, con una edad relativa del Mioceno tardío. En este trabajo se probó una técnica mixta de limpieza, para detallar rasgos estructurales de estas diatomeas en sus observaciones con microscopía fotónica, así como ultraestructurales con microscopía electrónica de transmisión y barrido, por lo que dichos métodos resultaron ser necesarios. De esta manera se obtuvo la determinación de 10 especies del género *Coscinodiscus*: *C. alboranii* Pavillard, *C. asteromphalus* Ehrenberg, *C. centralis* Ehrenberg, *C. concinnus* Smith, *C. jonesianus* Greville, *C. marginatus* Ehrenberg, *C. perforatus* var. *cellulosa* Grunow, *C. perforatus* var. *pavillardii* (Forti) Hustedt, *C. radiatus*

Ehrenberg y *C. rothii* (Ehrenberg) Grunow. En estos taxa se obtuvo un incremento en la variabilidad de sus rasgos morfométricos utilizados en análisis rutinarios tales como la forma de las areolas, su número como de las estrias en 10 μm , y arreglo de las areolas. En este último caso, se encontró que las hileras radiales primarias de areolas surgen de lóculos heptagonales, hexagonales o pentagonales; y las hileras radiales secundarias se iniciaron fuera del centro y a cualquier nivel de la valva de areolas hexagonales o pentagonales. De forma similar, se encontraron casos en los que una areola central estuvo rodeada por varias areolas, aspecto no señalado en estudios previos. Asimismo, se distinguió que las características anteriormente denotadas son inconsistentes en morfología al ser examinadas con microscopía fotónica, a diferencia de la forma y posición de los procesos micro y macrolabiados observados con microscopía electrónica de barrido. De forma similar, la confrontación de las especies del Reciente con las del Mioceno tardío y en un caso del Oligoceno tardío permitió hacer la interpretación de que son taxa que presentan caracteres fenotípicos conservativos. En consecuencia, el estudio morfológico llevó a enmendar tanto al género *Coscinodiscus* Ehrenberg como a varias de sus especies. Esto repercutió en la reducción del número de taxa obtenidos, así se tiene que *C. asteromphalus* Ehrenberg y *C. centralis* var. *pacifica* Gran y Angst se transfirieron a *C. centralis* Ehrenberg, *C. jonesianus* var. *commutata* (Grunow)

Hustedt y *C. commutatus* Grunow corresponden a *C. jonesianus* (Greville) Ostenfeld, *C. perforatus* var. *cellulosa* Grunow y *C. perforatus* var. *pavillardii* (Forti) Hustedt se fusionaron a *C. radiatus* Ehrenberg, *C. rothii* var. *subsalsa* (Juhlin-Dannfelt) Hustedt y *C. subsalsus* Juhlin-Dannfelt se incluyeron en *C. rothii* (Ehrenberg) Grunow. También se obtuvo una estrecha relación morfológica de los procesos macrolabiados en varios géneros, por lo que *Coscinodiscus* trascendió en el origen de *Azpeitia*, *Rocella* y *Actinocyclus*; así como la derivación de *Psammodiscus* a partir de *Rocella*, y *Roperia* de *Actinocyclus*. De igual manera, por compartir características morfológicas, se sugiere que *Azpeitia*, *Rocella* y *Psammodiscus* son representantes de la familia *Azpeitiaceae*. Finalmente como resultado del análisis morfológico, se incorpora a la terminología actual la designación "puente siliceo circular".

INTRODUCCION

Las diatomeas centrales del género *Coscinodiscus* pertenecen a un grupo amplio e importante del fitoplancton marino (Hendey 1964, Van Landingham 1968). Por lo que repercuten en diversos eventos ecológicos, ya que forman parte de la estructura de las comunidades fitoplánticas marinas. Infieren florecimientos de diatomeas y surgencias (Estrada y Blasco 1979, Falkowski 1983, Marshall y Cohn 1987). Son trascendentales en trabajos de sedimentología y bioestratigrafía, respecto a que se han detectado notables cambios en la abundancia de varias especies de este género en intervalos bien definidos de algunos sedimentos marinos (Sancetta y Silvestri 1984, 1986). Asimismo, tienen impacto en estudios de evolución, al haber derivado de un grupo ancestral, por la diversificación morfológica adquirida a través del tiempo, y por ser un género del que pudieron originarse otros grupos de diatomeas centrales (Simonsen 1979, Andersen et al. 1986). También es interesante su investigación bajo enfoques fisiológicos, en relación a respuestas por estímulos de iluminación, metabolismo de sílice, flujo intracelular de sodio, formación de la pared celular y, movimiento entre otros (Werner 1977, Contardi y Davis 1981, Schulz 1984, Medlin et al. 1986, Taylor 1986).

Es importante su estudio morfológico, debido a que la descripción del género *Coscinodiscus* así como de un considerable número de especies fueron efectuadas e ilustradas originalmente de material fósil por Ehrenberg (1838-1854, vide Sancetta 1987). La diagnosis genérica mencionada por Ehrenberg (1839, vide Hasle y Sims 1986b) fue muy breve, indicando solamente como rasgos distintivos el tamaño de las areolas y su arreglo en las valvas; sin designar un género tipo y Farr et al. (1979, vide Hasle y Sims 1986b) refirió al tipo de *Coscinodiscus* como "non designatus". De tal manera, que los problemas concernientes a la tipificación del género han sido tratados de diferente forma por Boyer (1927), Jousé (1963), Ross y Sims (1974) y resumidos por Fryxell (1978) para la conservación de *Coscinodiscus argus* Ehrenberg (1839, vide Fryxell y Ashworth 1988) como el tipo del género; lo que ha llevado actualmente a considerar como rasgos distintivos del género *Coscinodiscus* la presencia de una vela externa, numerosos procesos labiados, incluyendo un anillo marginal de ellos, y la ausencia de procesos de soporte, espinas o pseudonódulos (Fryxell y Hasle 1973, Hasle y Sims 1986b).

Por lo anterior, se adoptó un criterio para determinar a varios taxa o justificar el nombre de nuevas especies y, a pesar de que la determinación específica del género *Coscinodiscus* se basa en características morfológicas tales como el número de areolas en 10 µm, criba externa, foramen

interno, procesos labiados, cíngulo y diámetro valvar (Rattray 1889, Holmes y Reimann 1966, Boalch 1971, Brooks 1975a-c, Takano 1976, Hasle y Sims 1986b, Fryxell y Ashworth 1988), es un grupo en el que la determinación de las especies es extremadamente difícil debido a la gran variabilidad de su morfología valvar, con lo cual, varias especies pueden ser fácilmente confundidas al ser observadas con microscopía fotónica (Holmes y Reimann 1966, Brooks 1975a-c, Sancetta 1987). Aunado a lo anterior, se menciona que los caracteres como el diámetro y grado de curvatura valvar, talla y patrón areolar han resultado ser más diagnósticos del género que de alguna especie particular (Sancetta 1987, Fryxell y Ashworth 1988). En este aspecto es importante resaltar que aunada a la tipificación, el género *Coscinodiscus* presenta más problemas, en virtud de que por más de un siglo, con la utilización de la microscopía fotónica se han establecido nuevas especies, lo que ha llevado a crear gran confusión, por lo que es necesario analizar más detalladamente a las especies y definir límites entre cada una de ellas (Brooks 1975a). Al respecto, en el catálogo de VanLandingham (1968) se mencionan 820 especies, de las cuales solo son aceptadas 440 y 380 no. Esto ha tenido repercusión, en el hecho de que con el advenimiento de la microscopía electrónica se han logrado observar detalles ultraestructurales de diversos representantes de este género, lo que ha conllevado a varias especies ser transferidas a los géneros *Thalassiosira* (Hasle y Heimdal

1971, Fryxell y Hasle 1977, Hasle y Fryxell 1977, Hasle y Syvertsen 1984, Akiba y Yanagisawa 1986), *Psammodiscus* (Round y Mann 1980), *Thalassiosiroopsis* (Hasle y Syvertsen 1985), *Azpeitia* (Fryxell et al. 1986) y *Stellarima* (Hasle y Sims 1986, Sims y Hasle 1987, Hasle et al. 1988). Con lo que se observa una notable reducción en el número de especies que integran a este género.

Por lo anterior y, en virtud de que para México no existen trabajos o monografías de este género, los objetivos del presente estudio se enmarcan en:

- 1). Analizar la sistemática del género *Coscinodiscus* a partir de las características morfológicas valvares que posee, por medio de la microscopía fotónica y electrónica.
- 2). Obtener datos morfológicos de las especies de este género que pertenecen al Reciente, en diversos años de recolecta.
- 3). Dar a conocer a las especies del Reciente que se encuentran en el sur del Golfo de México.
- 4). Para complementar los objetivos anteriores, se pretende también obtener variaciones o semejanzas en las estructuras valvares de los ejemplares del Reciente, al comparar sus rasgos distintivos con especies marinas fósiles de amplia

distribución estratigráfica provenientes de algunas localidades diatomíferas de México. Esto se lleva a efecto, debido a que la mayor parte de las descripciones originales de las especies del género *Coscinodiscus* se obtuvieron de representantes fósiles procedentes de diversas partes del mundo.

ANTECEDENTES

En el ámbito internacional se ha llevado a efecto un gran esfuerzo para sistematizar al género *Coscinodiscus* y grupos afines (Hustedt 1930, Boalch 1971, Van Landingham 1968). Con lo cual, Simonsen (1972, 1975, 1979) hizo la propuesta de las siguientes jerarquías y ubicación del género en estudio.

Orden: Centrales

I. Suborden: Coscinodiscineae

1. Familia: Melosiraceae Kützing 1844
(*Endictya*, *Melosira*, *Stephanopyxis*...)
2. Familia: Thalassiosiraceae Labour 1930,
sensu Hasle 1973
(*Cyclotella*, *Thalassiosira*...)
3. Familia: Coscinodiscaceae Kützing 1844
(*Coscinodiscus*, *Craspedodiscus*...)
4. Familia: Asterolampraceae H.L.Smith 1872
(*Asterolampra*, *Asteromphalus*...)
5. Familia: Heliopeltaceae H.L.Smith 1872
(*Actinoptychus*, *Aulacodiscus*...)
6. Familia: Stictodiscaceae Schütt 1896
(*Arachnoidiscus*, *Stictodiscus*...)
7. Familia: Hemidiscaceae Hendey 1937, sensu
Simonsen 1975
(*Hemidiscus*, *Actinocyclus*, *Roperia*...)
8. Familia: Eupodiscaceae Kützing 1849, sensu
Simonsen 1979
(*Cerataulus*, *Eupodiscus*, *Odontella*...)

Al respecto, el estudio de la variación morfológica de *Coscinodiscus* por medio de microscopía fotónica, ha repercutido en la necesidad de utilizar una terminología

adecuada, a la cual se suma la obtenida con los detalles ultraestructurales por microscopía electrónica (Ross y Sims 1972, Anónimo 1975, Ross et al. 1979).

En cuanto a los estudios planctológicos que se han llevado a efecto en nuestro país, y particularmente en el sur del Golfo de México son muy diversos. Sin embargo, escasos los trabajos en los que se menciona al género *Coscinodiscus*. Así, el primer reporte de algunas especies de este grupo, lo efectuó Schmidt (1873, en Schmidt et al. 1874-1959), para el Banco y Bahía de Campeche. Posteriormente se indicó su presencia en la laguna de Términos (Gómez-Aguirre 1965a-b, 1974; Suárez-Castaño y Gómez-Aguirre 1965; Loyo-Rebolledo 1966; Björnberg 1971, Cruz 1971), Bahía de Campeche (Santoyo y Signoret 1973, 1975), regiones oceánicas y costeras del Golfo de México (Conger et al. 1972), en las lagunas de Términos, Alvarado y Tamiahua (Gómez-Aguirre 1977, Moreno y Ayala 1986, Moreno et al. 1987), Bahía y Banco de Campeche (Anónimo, 1980, Licea et al. 1980a-1982c, Delgado 1985, Torres 1986).

Es importante señalar, que en las investigaciones referidas anteriormente, a pesar de que se refiere al género *Coscinodiscus* como un componente del fitoplancton, aún son desconocidas las especies que lo integran.

AREA DE ESTUDIO

El área de estudio se encuentra comprendida entre los $18^{\circ}15'$ a $23^{\circ}39.1'$ de latitud norte y, los $91^{\circ}02'$ a $97^{\circ}19.7'$ de longitud oeste (Figura 1), la localización de las estaciones de muestreo se refieren en las Tablas 1 y 2.

Es importante mencionar, que esta área se ha estudiado en sus rasgos volumétricos, circulación oceanica, fluctuaciones mareales, clima, aspectos fisicoquímicos, y planctológicos por Björnberg (1971), Cruz (1971), Grijalva (1971), El-Sayed et al. (1972), Conger et al. (1972), Molinari y Yager (1972), Nowlin et al. (1972), Santoyo y Signoret (1973, 1975), Anonimo (1980), Licea et al. (1980a-1982c), Harding y Nowlin (1986) entre otros. Por lo que es conveniente para el lector interesado en obtener mas información, consultar las obras referidas.

MATERIAL Y METODOS

Las muestras analizadas provienen de 10 campañas oceanográficas (Figura 1, Tablas 1-2), cuatro de ellas pertenecen a una parte del programa CICAR (Cooperative Investigation of the Caribbean and Adjacent Regions), denominadas campañas COSMA (71-4, 71-18, 72-02 y 72-12), una de ellas a "Fitoplancton de la Bahía de Campeche" FBC (82-03), y cinco a las campañas "Estudio Multidisciplinario en la Zona Económica Exclusiva Mexicana del Golfo de México" OGME (I, II, III, V y VIII). El material que constituye esta parte del presente estudio, se obtuvo por medio de arrastres verticales con redes cónicas de abertura de malla de 30 y 170 μm .

Aunado a lo anterior, se procesaron muestras que pertenecen a material fósil para comparar datos morfométricos y morfológicos de las especies fósiles del género *Coscinodiscus* de amplia distribución estratigráfica, con las mismas especies recientes. Estos materiales, proceden de tres localidades fosilíferas del noreste de México, en orden de obtención y análisis se tienen:

17 niveles de una columna de 63.2 m que representan a la Sección estratigráfica Valle de Diatomita, Bahía Asumpción, Baja California Sur, perteneciente al Mioceno tardío.

Ubicada en los $27^{\circ}11'29''$ de latitud norte y los $114^{\circ}20'55''$ de longitud oeste (Figura 2).

23 niveles de San Felipe I de una columna de 5.5 m, y 20 niveles de San Felipe II de una columna de 6 m, mismos que representan a la Sección estratigráfica San Felipe, Baja California, del Mioceno tardío. Que se enmarca entre los $31^{\circ}06'29''$ de latitud norte y los $114^{\circ}56'25''$ de longitud oeste (Figura 3).

11 niveles de una columna de 179.31 m, representativos de la Sección estratigráfica Arroyo Hondo, Isla María Madre, Nayarit, con una edad relativa de Mioceno tardío-Plioceno temprano. Localizada entre los $21^{\circ}39'11''$ de latitud norte y los $106^{\circ}35'05''$ de longitud oeste (Figura 4, modificada de Carreño 1985).

Ambos tipos de materiales se procesaron en tres fases:

La primera, se estructuró por medio de preparaciones temporales en agua de mar para el material reciente, y en agua destilada para el fósil. Esto se hizo para analizar algunos ejemplares del género en estudio.

La segunda, se llevó a efecto para obtener preparaciones permanentes, en el que se aplicó una técnica mixta de los

métodos de limpieza por óxido-reducción propuestos por Hasle y Fryxell (1970), Simonsen (1974) y Schrader (1976). Esta se efectuó de la siguiente manera:

1. Se aforó a 50 mililitros todas las muestras del material reciente.
2. De cada frasco de las diferentes estaciones de muestreo se trajeron dos mililitros.
3. Se colocó cada muestra por tubo de ensayo de 15 mililitros.
4. Se enjuagó con agua destilada cuando menos tres veces para quitar el excedente de fijador. Esto se hizo centrifugando a 1,250 RPM, durante cinco minutos y, su posterior decantación quitando la mayor cantidad de agua posible en cada enjuague.
5. A continuación, se adicionaron dos mililitros de permanganato de potasio concentrado, permaneciendo en este medio cuando menos 12 horas.
6. A la solución anterior se añadieron cuatro mililitros de ácido clorhídrico concentrado (Simonsen 1974).

7. Se llevó a la flama de un mechero, con la precaución de evitar su ebullición, hasta obtener una tonalidad amarillenta.

8. Se enjuagó cuando menos una vez, como en el paso 4.

9. A continuación, se agregaron lentamente dos mililitros de ácido sulfúrico concentrado (Hasle y Fryxell 1970).

10. A esta solución se adicionó 0.1 gramo de dicromato de potasio, con una permanencia de cuando menos una hora, y agitado vigoroso una vez cada cinco minutos.

11. Inmediatamente después se agregaron dos mililitros de permanganato de potasio, con agitado vigoroso hasta obtener una coloración verde oscura o blanquecina.

12. A esta substancia se le añadieron aproximadamente tres mililitros de ácido oxálico concentrado, con agitado vigoroso hasta obtener una tonalidad translúcida o blanquecina.

13. Se enjuagó esta solución con agua destilada cuando menos seis veces, con el mismo procedimiento del paso número 4.

14. A continuación, se agregaron cuatro mililitros de una solución de ácido acético-peróxido de hidrógeno (1:1, según el método de Schrader 1976).

15. Los tubos de ensayo con el material, se llevaron a ebullición en un baño de arena a una temperatura de 90°C cuando menos ocho horas y, manteniendo el volumen de ácido acético-peróxido de hidrógeno constante.

16. Posteriormente se enjuagó cuando menos seis veces, como en el paso número 4.

El material limpio se aforó a 6 mililitros con agua destilada y se homogeneizó con un agitado vigoroso. De éste, se extrajo 0.1 mililitro y se colocó sobre un cubreobjetos (18 mm de diámetro y del número 1 ó 2). Despues de su secado, se agregó una pequeña cantidad de la resina sintética Hyrax (1.63 i.r. con xileno como solvente), o Naphrax (1.72 i.r. con xileno como solvente). A continuación se colocó en portacobjetos (75 x 25 mm) y se prepararon dos laminillas por muestra. Su análisis se llevó a efecto con un microscopio Zeiss IM-35 de cámara fotográfica invertido para observaciones en luz transmitida, y obtención de fotomicrografías a 300x, 400x 500x y 1,250x.

La tercera fase comprendió:

a). El montaje de 0.1 mililitro de material enjuagado con agua destilada cuando menos seis veces (con el mismo procedimiento del paso número 4 del proceso de limpieza), o material limpio sobre cubreobjetos (18 mm de diámetro y del número 1). A este material se le agregó una gota de tetróxido de osmio y se dejó secar durante 12 horas a temperatura ambiente. A continuación, los cubreobjetos se montaron con plata o carbón coloidal sobre cilindros de aluminio (1 x 1 cm), con un recubrimiento posterior de oro. Este método se siguió para el análisis de microscopía electrónica de barrido por medio de los microscopios Jeol-Stereoscan y Jeol-35C.

b). El montaje de material limpio en forma var sobre rejillas patrón de cobre del número 150 y 200, más recubrimiento con película de carbón (Licea et al. 1980b). Procedimiento que se efectuó para el análisis con microscopía electrónica de transmisión, utilizando para tal fin los microscopios Hitachi-8, Jeol-Stereoscan y Jeol-HC100.

La terminología utilizada para designar las estructuras morfológicas del género *Coscinodiscus*, es la propuesta por Ross y Sims (1972), von Stosch (1974, 1980), Anónimo (1975), Brooks (1975c), Fryxell y Ashworth (1988) y Ross et al. (1979). Por lo que a continuación se menciona a que se refiere cada una de ellas:

Frústulo: Elemento siliceo de la pared celular de una diatomea que comprende:

- a. Dos valvas, la epivalva y la hipovalva, y
- b. La cintura, formada por epicíngulo e hipocíngulo.
- c. La epivalva + epicíngulo integran a la epitheca.
- d. La hipovalva + hipocíngulo constituyen a la hypotheca.

Valva: Una de las dos placas de silice del frústulo de una diatomea, más o menos plana, cóncava o convexa cuya función es de protección de manera similar a las estructuras señaladas anteriormente.

Manto valvar: Porción terminal de la valva, diferenciada por una pendiente, algunas veces también por su estructura.

Cara valvar: Es la parte de la valva rodeada por el manto.

Área central: Designa a la porción media valvar.

Pseudonódulo: Estructura marginal a submarginal, algunas veces areolado, areolado-operculado, operculado (*Actinocyclus*), y luminado (*Roperia*). Su función es desconocida.

Cíngulo: Porción de la cintura asociado a una valva.

Pleura o banda de conexión: Es una parte del cíngulo adyacente a la valva.

Cópula: Elemento del cíngulo distal a la pleura, que se une por medio de la ligula a la valvocópula.

Ligula: Extensión delgada de la cópula, que sobresale con un ángulo de aproximadamente 90°.

Valvocópula: Elemento del cíngulo distal a la cópula, adyacente a la valva opuesta.

Sutura: Estructura silicea de unión entre la valva y el cíngulo o entre los elementos del cíngulo.

Areola: Perforación regularmente repetida de la valva, normalmente oculta por el velo. Interviene en mantener contacto entre el interior y exterior celular.

Areola loculada o lóculo: Es una areola marcadamente

constreñida en una superficie de la valva, y ocluida por un velo en la otra; el pasaje a través de la constricción en la superficie opuesta al velo es el foramen.

Vela: Capa de silice con pequeñas perforaciones a través de las areolas.

Criba: Es un tipo de vela reticulada que consiste de poros regularmente arreglados, en ocasiones presenta cribela.

Cribela: Poros que resultan de una estructura silícea reticulada entre la criba.

Estriás: Son hileras de areolas, mismas que pueden ser del siguiente tipo:

a. Radial: Cuando van del centro valvar al margen.

b. Fasciculado: Estas se agrupan en paquetes y son paralelas a una estria radial, cada paquete se denomina fascículo.

Roseta central: Agrupación de un número variables de areolas en la porción media valvar.

Proceso labiado o rimoportula: Un tubo o una abertura a través de la pared valvar, con un tubo interno aplanado o hendidura rodeada por dos labios. Se presume puede intervenir en la locomoción.

Procesos microlabiados: Procesos labiados pequeños, con una amplitud en general hasta de 1 μm .

Procesos macrolabiados o macrorimoportulae: Procesos labiados grandes, con una amplitud de varios micrómetros.

Procesos de soporte o fultoportulae: Tubos a través de la valva rodeados por 2-5 cámaras o poros satélite. Su función es secretar materia orgánica.

Por otra parte, el ordenamiento de las referencias consultadas se llevó a efecto de acuerdo al planteamiento de Diatom Research (1986-1987) revista en la que aparecen

algunos autores referidos, por lo que se respetó su anotación en otros idiomas, y se ajustó en castellano.

RESULTADOS

Por medio del material analizado, se obtuvo la determinación sistemática de 10 especies. A continuación, estas son enlistadas alfabéticamente, se indican las referencias que fueron útiles para su determinación, así como sus características morfológicas más sobresalientes.

Coscinodiscus alboranii Pavillard 1906

(Tabla 3, Figuras 5-7)

Hustedt 1930: p. 429, figs. 228a-c

von Stosch 1965: p. 295, figs. 1-4

Valva circular convexa (Figura 5). Diametro valvar 108.0 μ m. 9-11 areolas centrales a 10-11 areolas terminales en 10 μ m, 5-7 areolas endoquísticas en 10 μ m. 1-2 procesos microlabiados en 10 μ m. Dos procesos macrolabiados asimétricos, ángulo separación 151°. 12-13 estrias en 10 μ m. 11 areolas roseta central inconspicua (Tabla 3).

Comentarios.

La valva es débilmente silicificada (Figura 5), las areolas endoquísticas se observan como círculos blanquecinos marginales con microscopía fotónica y técnica de contraste

de fase (Figura 5, cabezas de flecha). Los procesos microlabiados se detectan como engrosamientos silíceos en posición subterminal y al final de las líneas hialinas sinuosas (Figura 5, flechas pequeñas). Los procesos macrolabiados se observan como círculos blanquecinos grandes, en el borde del manto (Figura 5, flechas grandes).

Con microscopía electrónica de transmisión, las areolas endoquiásticas se observan como círculos obscuros separados del margen por 1-2 areolas (Figura 7, cabezas de flecha). Algunas areolas muestran la membrana de la cribela como poros centrales pequeños entre la criba o vela perforada por poros arreglados regularmente (Figura 6, cabezas de flecha). Se presentan hileras de areolas primarias que se forman a partir del área central, así como hileras de areolas secundarias que se inicián después de las hileras primarias y a cualquier nivel de la valva (Figuras 6,7). Son notorios los procesos microlabiados en la porción terminal de las líneas hialinas sinuosas y separados de las areolas endoquiásticas por 6-7 areolas (Figura 7). Se detectan proyecciones hialinas que surgen de las areolas más distales en el borde del manto y toman la apariencia de estriás (Figura 7, triángulos).

(Tabla 4, Figuras 8-18)

Rattray 1889: p. 549

Hustedt 1930: p. 453, figs. 250a-c

Cleve-Euler 1951: p. 67, figs. 103-105d

Brooks 1975a: p. 18, lams. 1-8

Fryxell y Ashworth 1988: p. 363, figs. 2,7-8,14,18,26

Valva circular convexa (Figuras 8,10-11), o cóncava (Figura 17). Diámetro valvar 50.7-160.0 μm . 4-12 areolas centrales a 4-13 areolas terminales en 10 μm . 1-3 procesos microlabiados en 10 μm . Dos procesos macrolabiados asimétricos. Ángulo separación 134-163°. 6-13 estrías marginales en 10 μm . 5-9 areolas roseta central distintiva (Table 4).

Comentarios.

Se observa una roseta central integrada por un número variable de areolas (Figuras 8,11-12,16-17). Asimismo, se aprecian hileras radiales primarias y secundarias de areolas (Figuras 8,12,17).

Con microscopía fotónica y técnica de campo claro, la membrana de la criba se distingue en forma de puntuaciones entre las areolas (Figura 16). Los dos procesos macrolabiados son evidentes, con la técnica de contraste de fase se observan como pequeñas muescas en el borde valvar (figura 9, flechas grandes); en tanto que con la técnica de

campo claro se detectan como dos muescas en el borde valvar y con forma de una "V" orientada hacia el centro valvar (Figura 10, flechas grandes).

Con microscopía electrónica de barrido, se observan procesos microlabiados excentríficos (Figuras 12-13), así como un anillo de procesos microlabiados separados del borde del manto por 2-5 areolas (Figuras 10,14-15,17; flechas pequeñas), los procesos microlabiados son ensanchados hacia el ápice (Figuras 13-15, flechas pequeñas). Los procesos macrolabiados presentan un cuello que se engruesa tanto hacia la base, como hacia el labio inferior, los dos labios forman una estructura a modo de "plato" con dos lóbulos opuestos en la porción superior y orientados hacia el centro valvar (Figura 16, flecha grande); en ocasiones pueden presentarse cinco procesos macrolabiados vecinos localizados en la porción submarginal (Figura 15, flechas grandes). La membrana de la criba se observa como una estructura reticular (Figuras 17-18).

Coscinodiscus centralis Ehrenberg 1838

(Tabla 5, Figuras 19-26)

Rattray 1889: p. 555

Hustedt 1930: p. 444, figs. 240ard

Cupp 1943: p. 60, figs. 24a-m

Cleve-Euler 1951; p. 68, figs. 105a-d

Valva circular convexa (Figuras 19-21). Diámetro valvar 81.0-161.7 μm . 5-9 areolas centrales a 4-11 areolas terminales en 10 μm . Dos procesos macrolabiados asimétricos, ángulo separación 137-154°. 4-16 estriás en 10 μm . 6-9 areolas roseta central distintiva (Tabla 5).

Comentarios.

En microscopía fotónica, con la técnica de contraste de fase los dos procesos macrolabiados se observan como círculos blanquecinos medianos marginales (Figura 19, flechas grandes), en tanto que se observa un anillo de procesos microlabiados como círculos pequeños o líneas delgadas blanquecinos que se orientan hacia el centro valvar (Figuras 19-20; flechas pequeñas). Se detecta la presencia de protuberancias siliceas centrales como una zona más brillante (Figura 20, cabeza de flecha).

En microscopía electrónica de barrido, se observaron 2-6 protuberancias siliceas centrales (Figuras 22-23, 25; flechas grandes), en dos de ellas se distingue un lado con un tramo recto a curvado y ensanchado hacia la base, mientras el lado opuesto es recto (Figura 23, flecha); se detectan en algún caso 16 pequeñas prominencias accesorias en esta zona, son de forma variable que van de simples protuberancias a

elongaciones bulbosas (Figura 25. flechas pequeñas). Los procesos microlabiados del anillo en el manto, se engrosan hacia la base, mientras que se aplatan y adelgazan hacia el ápice, mostrando una hendidura entre los labios (Figuras 24,26). Los procesos macrolabiados presentan un cuello que se engrosa hacia la base, así como en el labio inferior; entre los dos labios que semejan un "plato" se detecta una fina abertura ondulada, y sobre el labio superior se encuentran dos lóbulos opuestos orientados hacia el centro valvar (Figuras 24,26).

Coscinodiscus concinnus (Smith) emend. Boalch 1971

(Tabla 6, Figuras 27-51)

Rattray 1889: p. 531

Hustedt 1930: p. 441, figs. 241a-e

Cupp 1943: p. 58, figs. 22a-e

Cleve-Euler 1951: p. 68, figs. 108a-f

Van der Werff y Huis 1957-1974: C.AIC.15., figs. A-I

Boalch 1971: p. 685, lam.2, figs. A-F

Valva convexa (Figura 36), o concava (Figura 44). Diámetro valvar 132.5-380.0 μm . 3-8 areolas centrales y marginales, a 5-9 areolas en el manto en 10 μm . 1-3 procesos microlabiados entre margen y manto a 1-3 procesos microlabiados en el borde del manto en 10 μm . Dos procesos macrolabiados

asimétricos borde manto. Ángulo separación 149-165°. 6-19 estriás en 10 μ m. 9-20 areolas roseta central inconspicua (Tabla 6).

Comentarios.

En microscopía fotónica, la roseta central que es poco evidente (Figuras 27-28, 30-32, 35), en ocasiones aparece no tener nada en la porción central (Figuras 30-31, 35-37), o da la apariencia de ser granular (Figuras 28-32, cabeza de flecha). Las hileras de areolas son radiales, con hileras primarias que surgen del área central, o secundarias que se forman fuera del centro y a cualquier nivel valvar (Figuras 27-28, 31-32, 35). Los procesos microlabiados se observan como finas manchas claras de forma ovoide (Figuras 27, 33-35, flechas pequeñas). En todos los ejemplares analizados se detectó un anillo de procesos microlabiados en la porción subterminal del manto (Figuras 30, 34-35), en ocasiones se puede presentar un anillo excéntrico casi submarginal de procesos microlabiados (Figura 35). Los procesos macrolabiados se observaron asimétricos, como muescas en el borde de la valva (Figura 27), y como manchones blanquecinos ligeramente más gruesos que los microlabiados (Figuras 29, 34-35).

En microscopía electrónica de barrido, el área central muestra poros (Figura 45). La roseta central se evidencia en

vista valvar interna por líneas silíceas de sutura que se fusionan a una estructura silícea central de forma irregular (Figura 37, flechas). Se presenta una foramina interna (Figuras 37-41), que en ocasiones muestra a la membrana de la criba (Figuras 37,39-40) y entre ella, a la cribela (Figura 39, microscopía electrónica de transmisión; Figura 40, microscopía electrónica de barrido). La criba es externa y de forma reticular oblicua (Figuras 45-50). Los procesos microlabiodados presentan una base delgada y ápices aplaniados anchos (Figuras 38,40-42; flechas pequeñas), que se orientan entre sí mismos de modo angular (Figuras 40-42). Se encuentran dos anillos de procesos microlabiodados, uno entre el margen y el manto (Figuras 40,47) y el otro cerca del borde del manto, separados de él por 2-3 areolas (Figuras 41,44,48-50; flechas pequeñas). Los procesos macrolabiodados presentan un ápice prominente formado por los dos labios, con dos lóbulos opuestos sobre el labio superior y una hendidura fuertemente espiralizada (Figuras 41-43), en algún caso los lóbulos pueden ser incompletos (Figura 43). El manto se une por delgados filamentos silíceos de sutura a una pleura sumamente delgada y ésta a su vez a la cúpula o valvocúpula según corresponda (Figura 48, cabezas de flecha pequeñas, cabeza de flecha mediana y cabeza de flecha grande respectivamente). El cingulo es una estructura silícea formada cuando menos por tres bandas: la pleura, la cúpula y la valvocúpula; esta última a su vez presenta una ligula poco ancha (Figura 51: cabezas de flecha pequeña,

mediana, grande y flecha respectivamente), la amplitud de estas bandas es variable ya que el grosor del manto y la cópula son similares, la cópula es más delgada y la extremadamente delgada corresponde a la pleura.

Coscinodiscus jonesianus (Greville) Ostenfeld 1915

(Tabla 7, Figuras 52-54)

Hustedt 1930: p. 438, 440; figs. 239a-f, 240

Clever-Euler 1951: p. 68, fig. 106

Van der Werff y Huis 1957-1974: C.Alc.15., figs. A-D

Valva circular cóncava (Figura 52). Diámetro valvar 121.4 pm. 12 areolas centrales y terminales en 10 pm. 2 procesos microlabiados en 10 pm. Dos procesos macrolabiados, ángulo separación 153°. 46 estriás en 10 pm. 6 areolas roseta central distintiva (Tabla 7).

Comentarios.

Esta especie presenta procesos macrolabiados sumamente grandes, de forma abultada externa (Figuras 52,54; flechas grandes). Se presentan hileras radiales de areolas primarias y secundarias (Figuras 52-53). La abertura externa de los procesos microlabiados, se observan como ligeros

engrosamientos siliceos (Figura 54). La criba es externa y forma poros de apariencia regular (Figura 53).

Coscinodiscus marginatus Ehrenberg 1841

(Tabla 8, Figuras 55-59)

Rattray 1889: p. 509

Hustedt 1930: p. 416, figs. 223a-c

Cupp 1940: p. 55, figs. 19a-c

Cleve-Euler 1951: p. 65

Valva circular convexa (Figura 55). Diámetro valvar 39.2-125.0 μm . 2-5 areolas centrales a 3-6 areolas terminales en 10 μm . 2-3 procesos microlabiados en 10 μm . Dos procesos macrolabiados, ángulo separación 145-161°. 3-7 estriás en 10 μm . 5 areolas roseta central (Tabla 8).

Comentarios.

Esta especie presenta una estructura valvar silicea robusta, valva circular convexa, con hileras radiales primarias y secundarias de areolas (Figura 55). La membrana de la criba de forma reticular, en ocasiones se presenta casi intacta, en ella se observan filamentos siliceos de sutura con la parte superior de la pared locular (Figura 58, cabezas de flecha). Se presenta un anillo de procesos microlabiados en

el margen, así como dos procesos macrolabiados asimétricos entre el margen y el manto (Figuras 56,59; flechas pequeñas y grandes respectivamente).

Coscinodiscus perforatus var. *cellulosa* Grunow 1884

(Tabla No.9, Figuras 60-61,73-82)

Rattray 1899: p. 572

Hustedt 1930: p. 447, fig. 246

Cupp 1943: p. 61, figs. 25Aa-f

Cleve-Euler 1951: p. 66, fig. 100c

Van der Werff y Huis 1957-1974: C.Alc.15

Valva circular convexa (Figuras 60-61,73-74,118), en ocasiones plana (Figura 79), o cóncava. Diametro valvar 48.2-182.5 μ m. 3-5 areolas centrales a 3-9 areolas marginales en 10 μ m. 2-4 procesos microlabiados en 10 μ m. Dos procesos macrolabiados asimétricos, ángulo separación 135-146°. 7-18 estrias en 10 μ m. 6-14 areolas roseta central inconspicua (Tabla 9).

Comentarios.

Como característica distintiva se presentó una área central, en cuya periferia se encuentra un número variable de areolas (Figuras 60-61,73-75,79-81).

Con microscopía fotonica se observan las hileras radiales primarias y secundarias de areolas, las areolas son hexagonales o pentagonales, a veces de apariencia esférica (Figuras 60-61). Con esta técnica, los procesos microlabiados son difíciles de observar, a diferencia de los macrolabiados que se detectan como muescas asimétricas en el borde valvar (Figura 61, flechas).

Con microscopía electrónica de barrido, se observan en vista valvar interna los procesos microlabiados excéntricos (Figuras 73,75,77; flechas pequeñas), un anillo de procesos microlabiados tubulares en el manto (Figuras 73-74, flechas pequeñas) separados del margen por 0.5-1 areolas (Figura 78, flechas pequeñas). Dos procesos macrolabiados asimétricos (Figura 73), mismos que son tubulares, ensanchados hacia la base y bulbosos en el ápice, cuya abertura externa es circular (Figura 76, flecha grande); también se observan proyecciones siliceas que unen al manto por medio de un "puente siliceo circular" (Figura 76, cabezas de flecha pequeñas y cabeza de flecha mediana) con la foramina circular interna (Figuras 76,78; cabezas de flecha grandes).

En vista valvar externa, El área central presenta en ocasiones un poro localizado hacia la periferia y, rodeada por areolas; en la zona excéntrica inmediata, se encuentran las aberturas externas de los procesos microlabiados (Figura

81; cabezas de flecha grande, pequeña y flechas respectivamente). Se aprecia una verdadera muesca en el borde del manto (Figura 79) que corresponde a la abertura externa de un proceso macrolabiado (Figura 82, flecha grande). También es posible observar la abertura externa de un proceso microlabiado en el manto (Figura 82, flecha pequeña). A nivel submarginal, se detectan los filamentos siliceos de la base de la membrana de la criba reticular y la abertura externa de un proceso microlabiado submarginal (Figura 80, cabezas de flecha y flecha).

Coscinodiscus perforatus var. *pavillardii* (Forti) Hustedt
1928

(Tabla 10, Figuras 62-68, 83-95)

Hustedt 1930: p. 417, figs. 247a-e

Dupp 1943: p. 62, figs. 258a-e

Van der Werff y Huis 1957-1974: C.AIC.15

Valva circular (Figuras 62-68, 83, 90), cóncava (Figura 91) a veces convexa (Figura 85) y en otras plana. Diámetro valvar 23.8-132.5 μm . 3-8 areolas centrales a 4-8 areolas terminales en 10 μm . 2-4 procesos microlabiados en 10 μm . Dos procesos macrolabiados asimétricos, ángulo separación 131-145°. 6-19 estriás en 10 μm . 4-7 areolas roseta central distintiva (Tabla 10).

Comentarios.

Se presenta una roseta central formada por un número variable de areolas entre las que destacan las hileras radiales primarias que surgen a partir de ellas; asimismo, pueden apreciarse las hileras radiales secundarias que se presentan fuera de esta zona (Figuras 62-63, 65, 67, 84, 90, 92) y procesos microlabiados excéntricos (Figuras 64, 83, 90).

En microscopía fotónica, se observan dos pequeñas muescas que corresponden a la posición de los procesos macrolabiados (Figuras 62-68, flechas grandes), los procesos microlabiados son difíciles de observar y en campo claro con iluminación oblicua se muestran como ligeros engrosamientos marginales orientados hacia el centro valvar (Figura 62). En algunas ocasiones, puede detectarse un pequeño polo central (Figura 66, flecha pequeña).

Con microscopía electrónica de barrido, se distingue en vista valvar interna un anillo de procesos microlabiados tubulares en el manto, orientados hacia el centro valvar (Figuras 83, 87; flechas pequeñas), estos se encuentran separados del borde del manto por 0.5-1 areolas (Figuras 87, 89; flechas pequeñas). Los procesos macrolabiados asimétricos (Figura 83), son túbulos engrosados hacia la base, bulbosos en el ápice (Figura 88, flecha grande), y

curvados en el lado inferior hacia el ápice (Figura 89, flecha grande). También es posible observar los filamentos de sutura de la criba externa, marcas de estos filamentos que se aprecian como estrías cortas, así como parte de las paredes de las cámaras areolares que se observan como estrías gruesas, y la abertura externa de forma circular de un proceso macrolabiado (Figuras 87-88; triángulos, flechas de triángulo, cabezas de flecha y flecha grande respectivamente). Los procesos microlabiados excentríficos (Figura 83, flechas negras) son de estructura tubular que se ensancha hacia la base (Figura 86, flecha pequeña). La roseta central se detecta por la criba externa entre la abertura interna de cinco areolas en la foramina excentrífica (Figura 84). Se notan las marcas de las cámaras areolares que pueden ser heptagonales, hexagonales y pentagonales (Figura 84, cabezas de flecha grande, mediana y pequeña). En vista valvar externa, es notoria la concavidad valvar característica de esta variedad (Figura 91); la abertura externa de los procesos microlabiados excentríficos y del manto (Figuras 90,93; flechas pequeñas), y la abertura externa de los procesos macrolabiados (Figuras 91,93; flechas grandes). Se detectan dos bandas del cíngulo, una más ancha que corresponde a la valvocópula y otra más delgada que es la copula (Figura 93; cabezas de flecha grande y pequeña respectivamente). Se observa la membrana reticular de la criba en las areolas centrales (Figura 92).

excentricas (Figura 95), marginales con espacio siliceo y del manto sin este espacio (Figura 94).

Coscinodiscus radiatus Ehrenberg 1839

(Tabla 11, Figuras 69-72, 96-117, 120-121)

Rattray 1889: p. 514

Hustedt 1930: pl. 420, figs. 225a-b

Cupp 1943: p. 56, figs. 20a-d

Cleve-Euler 1951: p. 65, figs. 97a-b

Van der Werff y Huis 1957-1974: C.AIC.15

Hasle y Sims 1986b: p. 310, figs. 8-32

Sancetta 1987: p. 204, figs. 1-10

Fryxell y Ashworth 1988: p. 363, figs. 3, 7-10, 15, 19, 27

Valva circular (Figuras 69-72, 99, 102, 111, 120), convexa (Figura 99), cóncava (Figura 109), o plana (Figura 105). Diámetro valvar 20.0-97.5 μ m. 4-10 areolas centrales y marginales en 10 μ m. 2-4 procesos microlabiados en 10 μ m. Dos procesos macrolabiados, ángulo separación 132-147°. 7-22 estriaciones en 10 μ m. 4-8 areolas roseta central distintiva (Tabla 11).

Comentarios.

Se observa una roseta central formada por un número variable de areolas (Figuras 69-72, 99-100, 102, 105, 110, 112, 115, 120).

Procesos microlabiados excéntricos (Figuras 72, 99, 102, 109, 115; flechas pequeñas).

En microscopía fotonica, son evidentes dos pequeñas muescas asimétricas en el borde del manto que pertenecen a los dos procesos macrolabiados (Figuras 70, 72; flechas grandes). En las porciones terminales de la valva se observan estriás, que corresponden a las paredes de las cámaras loculares (Figuras 69, 71-72).

En microscopia electronica de barrido, se observa en vista valver interna un anillo de procesos microlabiador tubulares en el manto y orientados hacia el centro valver (Figuras 96, 101-102, 104, 106; flechas pequeñas), separados del borde del manto valver por 0.5-1 areolas (Figuras 101, 103-104, 106; flechas pequeñas). Los procesos macrolabiados son túbulos engrosados hacia la base y bulbosos en el ápice (Figura 106, flecha grande), en ocasiones los procesos micro y macrolabiados pueden observarse como prominencias con el ápice roto (Figuras 101-104, flechas pequeñas y grandes). Se observan las bases de las paredes de las cámaras loculares que semejan estriás en el puente silíceo circular (Figura 104, triángulos). Se distingue indirectamente la roseta central por la abertura interna de seis lóculos (Figuras 97, 100, 102, 105, 120; cabezas de flecha), asimismo son

evidentes las marcas de la base de las cámaras loculares, mismas que pueden ser heptagonales, hexagonales o pentagonales (Figura 102), y muestran a las hileras radiales primarias y secundarias de areolas (Figuras 120, 121).

En vista valvar externa, destaca la forma de la valva, ya sea cóncava (Figuras 109, 115), o plana (Figura 111). La abertura externa de los procesos microlabiados excéntricos y del manto (Figuras 108-109, 115-117; flechas pequeñas), las aberturas externas de los procesos macrolabiados (Figuras 113-115; flechas grandes). Una roseta central (Figura 110, cabezas de flecha), o una areola central rodeada de varias areolas (Figuras 112, 115; cabezas de flecha). Se observa un cíngulo constituido por tres bandas: una banda gruesa que forma a la valvocópula, otra banda delgada que es la copula y otra de similar amplitud a este que corresponde a la pleura (Figuras 114, 116; cabezas de flecha grande, mediana y pequeña); a su vez, estas bandas presentan hileras paralelas de areolas pequeñas (Figura 117, cabeza de flecha).

Coscinodiscus rothii (Ehrenberg) Grunow 1878

(Tabla 12, Figuras 122-128)

Rattray 1899: p. 502

Hustedt 1930: p. 400, figs. 21a-d

Cleve-Euler 1951: p. 58, figs. 79a-b

Kim y Barron 1986: p. 179, lám. 1, fig. 4

Valva circular cóncava (Figuras 122-124,128), a veces convexa (Figuras 125-127). Diámetro valvar 34.2-20.9 μm . 6-11 areolas centrales a 6-10 areolas marginales en 10 μm . 5 procesos microlabiados en 10 μm . 9-10 procesos macrolabiados, ángulo separación 30-45°, 1 proceso macrolabiado en 10 μm . 11-17 estrías en 10 μm . 3-5 areolas roseta central distintiva (Tabla 12).

Comentarios.

Las areolas valvares son fasciculares, formando una roseta central, que a veces puede presentar una areola central rodeada por varias areolas (Figuras 122-127,128). En las crestas del manto y límite con el margen valvar, se presentan las aberturas externas de los procesos macrolabiados (Figuras 125-128, flechas grandes). El manto es ancho, generalmente se dobla hacia afuera en un ángulo de casi 90°, por lo que genera una estructura que parece estar formada por dos subunidades, una más amplia que la otra (Figuras 125-128), con hileras paralelas de areolas (Figura 126, cabezas de flecha grande y pequeña respectivamente), en el doblez más delgado y en el límite con el más extenso se presenta la abertura externa de un proceso macrolabiado (Figuras 125-126). Al parecer, se presentan valvas que carecen de procesos microlabiados (Figuras 125-127);

mientras que otra valva presenta la abertura externa de estas estructuras en la porción media del manto (Figura 128). También es posible observar una banda delgada en la porción más distal del doblez más delgado (Figura 125) y que corresponde a una parte del cíngulo.

DISCUSSION

Coscinodiscus alboranii Pavillard

Los ejemplares de esta especie, son similares en forma a los analizados por Hustedt (1930), y von Stosch (1985). Sin embargo, difieren algunos valores (Tabla 3); en particular, por el incremento en el numero de areolas marginales, areolas endoquiásticas y angulo de separación de los dos procesos macrolabiados asimétricos. Aspecto que lleva a un mayor grado de variación morfométrica.

C. alboranii muestra un gran parecido con *C. concinnus* sobre todo, por el área central, líneas hialinas sinuosas y procesos microlabiados en la parte terminal de ellas. Pero estos dos taxa difieren, ya que por una parte *C. alboranii* posee areolas especializadas denominadas areolas endoquiásticas y por otra, no se presenta un manto amplio, ni procesos microlabiado entre el margen y el manto como en *C. concinnus* (Figuras 5-7, 27, 30, 36, 40).

Coscinodiscus asteromphalus Ehrenberg

Al comparar los datos morfométricos obtenidos en el presente trabajo con los valores mencionados en la literatura (Tabla

4), se tienen las mayores fluctuaciones en el numero de areolas centrales y marginales, numero de procesos microlabiados, ángulo de separación entre los dos procesos macrolabiados, numero de estrías y numero de areolas que forman la roseta central. Hecho, que en términos generales incrementa la variación de esta especie. Asimismo, es importante enfatizar que como rasgo distintivo del género *Coscinodiscus*, se tiene la presencia de solo dos procesos macrolabiados asimétricos (Brooks 1975a-c, Fryxell 1978, Hasle y Sims 1986a-b, Fryxell y Ashworth 1988). Sin embargo, se presentó un caso en el que hubo hasta cinco procesos macrolabiados muy cercanos (Figura 15). Este aspecto es sobresaliente, ya que muestra parte de la ontogenia del género *Coscinodiscus* e infiere una fuerte relación con *Actinozyclus* (Figuras 129-130), *Azpeitia* (Figuras 137, 139) y *Roperia* (Figuras 143-144).

En cuanto a la confrontación de los ejemplares fósiles con los recientes (Tabla 4), no se aprecian diferencias considerables. Al respecto, cabe señalar que *C. asteromphalus* es una diatomea que presenta amplio rango estratigráfico (Mornhardt 1967, Whiting y Schrader 1985), por lo que se hace la estimación de que se trata de una especie que presenta caracteres fenotípicos conservativos.

Por otra parte, a diferencia del señalamiento que hacen algunos autores (Hasle y Sims 1986b, Fryxell y Ashworth

1986), de que en el género *Coscinodiscus* no se presenta una areola central rodeada por varias areolas; en este trabajo se observaron dos válvulas, una fósil y otra reciente con una areola central rodeada por varias areolas, una característica distintiva del género *Thalassiosira*, con lo que se muestra relación entre ambos taxon, con la diferencia de que este último tiene procesos de soporte (Figuras 150-151).

Coscinodiscus centralis Ehrenberg

Respecto a los datos morfométricos que presenta este taxon, y al observar las medidas de los autores referidos (Tabla 5), se aprecia que las mayores fluctuaciones se presentan en el número de areolas centrales y marginales, angulo de separación de los procesos macrolobulados, número de estriás y número de areolas de la roseta central. Situación que implica un mayor grado de variación en estas estructuras.

En el caso de los procesos macrolobulados, Rattray (1889), hizo mención de que su presencia era un carácter distintivo para diferenciar a *C. centralis* de *C. asteromphalus*, en virtud de que en este último no se presentaban. Asimismo, Hustedt (1930) siguió el mismo planteamiento. Pero al observar sus rasgos morfométricos (Tablas 4 y 5), no se observan diferencias notables entre estas dos especies y, al

analizar su morfología en microscopía electrónica de barrido, se distingue que los procesos microlabiados y macrolabiados son similares (Figuras 15, 24, 26). Por esta razón, se hace la consideración de que no existen diferencias substanciales para separar a estas dos especies. De esta manera, son incorrectos tanto el planteamiento de Grunow (vide Cleve-Euler 1951) de que *C. centralis* sea una variedad de *C. asteromphalus*, y el de Ehrenberg (vide Rattray 1889; Hustedt 1930) de la existencia de *C. asteromphalus*. Por lo tanto, la figura 260 de Hustedt (1930) determinada como *C. asteromphalus*, y la figura 24 de Cupp (1943) designada como *C. centralis* var. *pacifica*, corresponden a *C. centralis*.

De igual manera, es importante resaltar la presencia de las protuberancias silíceas centrales (Figures 22-23, 25), no referidas en la literatura consultada, y que al parecer están estrechamente relacionadas con los procesos microlabiados, sobre todo las dos protuberancias centrales (Figuras 22-23) por la forma y el tamaño que poseen. Esto resulta interesante, ya que de ser procesos microlabiados, pueden presentarse dos situaciones: una de ellas, refleja rasgos ontogenéticos en virtud de que no es común que se presenten procesos labiados en el área central del género *Coscinodiscus*; y por otra parte, cabría unir a este taxón con *Azpeitia*. Sin embargo, este último caso resultaría problemático debido a que *Azpeitia* solamente posee un

proceso macrolabiado (macrorimoportula) central (Figure 130). Por esta razón, se sugiere investigar más a fondo a este grupo.

Por lo anterior, a continuación, se corrige la posición sistemática de este taxón:

Coscinodiscus centralis Ehrenberg emend.

Coscinodiscus asteromphalus Ehrenberg 1844, p. 77 (vide Rattray 1889, Hustedt 1930).

Coscinodiscus asteromphalus var. *centralis* Grunow 1884, p. 79 (vide Hustedt 1930).

Valva circular convexa o cónicava. Diametro valvar 29-400 μ m. 2-5-12 areolas centrales a 3-4-13 areolas terminales en 10 μ m. 1-3 procesos microlabiados en 10 μ m. Dos procesos macrolabiados, angulo de separación 134-167°. 4-13 estriæ en 10 μ m. 5-9 areolas rosata central. Algunos casos 6 areolas rodean areola central.

***Coscinodiscus concinnus* (Smith) emend. Boalch**

Al comparar los datos morfométricos del presente estudio con la literatura consultada (Tabla 6), se observa que la mayor variación se encuentra en la presencia de un anillo de procesos microlabiados entre el margen y el manto, aspecto no señalado en las referencias revisadas; cabe hacer notar que como rasgo característico, no se presentan procesos macrolabiados entre ellos. En contraste con un anillo de procesos microlabiados en el borde del manto y los dos procesos macrolabiados asimétricos; aspecto que es poco usual para el género *Coscinodiscus* y que curiosamente no señala Brooks (1975a) en sus observaciones. En este sentido Cupp (1943), muestra esquemas de *C. concinnus* en los que menciona la posición de los procesos micro y macrolabiados (spinulae, apiculi) en el margen, mas no en el manto; también muestra un esquema de *C. waillesii* Gran y Angst, que al ser comparado con los datos obtenidos en este estudio (Tabla 6), son similares a los de *C. concinnus*; lo que puede interpretarse de dos maneras: una de ellas significa que pueden estar equivocadas las observaciones de Cupp (1943), o por otra parte que *C. waillesii* no es más que una forma de *C. concinnus*, por lo que se requiere llevar a efecto un estudio detallado de *C. waillesii*.

Coscinodiscus jonesianus (Greville) Ostentfeld

Al confrontar los resultados con la literatura consultada (Tabla 7), es notorio que algunos datos son concordantes. Sin embargo, la mayor variación se presentó en el número de areolas centrales y terminales. Es importante enfatizar que Hustedt (1930), Van der Werf y Huis (1957-1974) mencionan a *C. jonesianus* var. *commutata* (Grunow) Hustedt, y Cleve-Euler (1951) refiere a *C. commutatus* Grunow como taxa separados. Pero al comparar sus datos morfométricos (Tabla 7), no se aprecian diferencias notables y en algunos casos se traslapan. Por lo que no resulta válido que se haga la separación de la variedad *commutata* y, mucho menos de la especie *commutatus*; ya que de ser así, el único ejemplar que se analizó, por presentar una fuerte variación en algunos de sus caracteres diagnósticos, podría incluso ser elevado al nivel de especie. Sin embargo, se lleva a efecto la siguiente modificación:

Coscinodiscus jonesianus (Greville) Ostenfeld emend.

Coscinodiscus jonesianus var. *commutata* (Grunow) Hustedt 1930, p. 440, fig. 240.

Coscinodiscus commutatus Grunow l. c., s. max. p. (vide Hustedt 1930, Cleve-Euler 1951).

Valva circular convexa. Dímetro valvar 70-300 μm . 4-12 areolas centrales a 5-12 areolas terminales en 10 μm . 1-2

procesos microlabiados en 10 μ m. Dos procesos macrolabiados asimétricos, ángulo separación 100-166°. 46 estrias en 10 μ m. 5-11 areolas roseta central.

Coscinodiscus marginatus Ehrenberg

Aunque los ejemplares de esta especie, proceden de la Sección estratigráfica Valle de Diamantina, se observa (Tabla 8), que existe incremento en el número de las areolas centrales, marginales y estrias. Cabe destacar que en la literatura consultada, no se hace referencia del ángulo de separación de los procesos macrolabiados asimétricos (Figura 56). Asimismo, es importante enfatizar, que a pesar de que se refiere la no existencia de roseta central, en algunos ejemplares esta estructura se observó integrada por varias areolas, en algunos casos su ausencia y en su lugar una areola central rodeada por varias areolas. Este último punto es interesante, en virtud de que es una característica común del género *Thalassiosira* (Hasle y Fryxell 1977, Fryxell y Ashworth 1978).

Cabe destacar, que los procesos microlabiados y macrolabiados son muy parecidos a los de *C. asteromphalus* y *C. centralis* (Figuras 13-14, 15, 24, 26); mientras que en su estructura externa, presenta un gran parecido a *Coscinodiscus radiatus*, tanto en su forma valvar (Figuras

55,109), como por la forma de la criba (Figuras 58-116,117), pero difieren por la forma y posición de los procesos labiados (Figuras 56,59,96,98,101,104,106). Aspecto que muestra la más estrecha relación entre *C. centralis* y *C. marginatus*.

***Cescinodiscus perforatus* var. *cellulosa* Grunow.**

La confrontación de los datos del presente estudio con las referencias de los autores consultados (Tabla 9), reveló que la mayor variación se encuentra en el número de areolas centrales y terminales, así como en el número de procesos microlabiados. Estos últimos, difíciles de distinguir en microscopía fotónica, aunque Rattray (1889) los menciona. Al respecto, cabe señalar que los autores referidos no indican el ángulo de separación de los procesos macrolabiados.

Asimismo, es interesante notar como se presentan rasgos morfológicos similares entre esta variedad con *C. perforatus* var. *Pavillardii* y *C. radiatus*, como es el caso de los procesos microlabiados excéntricos (Figuras 64,72-73,83, 90,109); en el manto, de los procesos microlabiados y macrolabiados (Figuras 76-78,86-89,98,101-107), membrana de la criba (Figuras 80,82,92-95,108,110,112,115-117), del manto (Figuras 82,93,109,116-117), y en la presencia de hileras radiales primarias y secundarias de areolas (Figuras

62,118-121). Lo anterior lleva a pensar que al no presentarse diferencias substancialmente notables, pertenecen a la misma especie, salvo diferencias en la forma de la zona central por las areolas.

Es importante resaltar que los datos morfométricos de los ejemplares recientes y fósiles (Tabla 9), así como en sus caracteres morfológicos no presentan marcadas diferencias. Aspecto que infiere la conservación de caracteres fenotípicos.

Coscinodiscus perforatus var. *pavillardii* (Fertl) Hustbedt

La comparación de los datos morfométricos con la literatura citada (Tabla 10), muestra variaciones en el número de areolas centrales, marginales, número de estriaz y una areola central rodeada por varias areolas. Evento, que repercute en un mayor grado de variación morfométrica. Resulta interesante el hecho de que estos autores no refieren a los procesos microlabiados del manto, quizás debido a que son muy difíciles de detectar con microscopía fotónica, por lo que solamente mencionan a los excentríticos (interstitialmaschen, interstitial mesh). Cabe señalar que tampoco indican el ángulo de separación de los procesos macrolabiados.

Esta variedad presenta un gran parecido con *C. perforatus* var. *cellulosa* y con *C. radiatus*, ya que son muy similares en la forma de los procesos microlabiados excentrómicos, procesos macrolabiados del anillo en el manto, procesos macrolabiados, membrana de la criba y manto (Figuras 76-78, 80, 82, 86-89, 92-95, 98, 101-110, 112, 115-117). Esto, hace pensar que pertenecen a la misma especie.

Por otro lado, la confrontación morfométrica de los ejemplares fósiles con los recientes mostró poca variabilidad, lo que refleja rasgos fenotípicos conservativos.

Coscinodiscus radiatus Ehrenberg

En esta especie se encontró un mayor grado de variación en el número de areolas centrales, marginales, ángulo de separación de los procesos macrolabiados y número de areolas de la roseta central (Tabla 11); sin embargo, en este último carácter Van der Werff y Huis (1957-1974) muestran una figura en la que se distinguen 14 areolas de la roseta central que es poco evidente, y no lo indican. Es importante enfatizar, el gran parecido morfológico de esta especie con *C. perforatus* var. *cellulosa* y *C. perforatus* var. *Pavillardii*, ya que presentan estructuras similares como los

procesos microlabiados excentricos, un anillo de procesos microlabiados en el manto valvar, procesos macrolabiados, membrana de la criba y manto (Figuras 76-78, 80, 82, 84, 89, 92-95, 98, 101-110, 112, 115-117), e hileras radiales primarias y secundarias de areolas. En este ultimo punto, es importante mencionar que Fryxell y Ashworth (1988), señalan que las hileras radiales primarias se iniciaron en el área central a partir de una areola hexagonal, las hileras radiales secundarias surgen en la porción media de la valva y a partir de una areola pentagonal. Sin embargo, en el presente estudio se observó que una hilera radial primaria puede surgir a partir de una areola heptagonal, hexagonal o pentagonal; en el caso de las hileras radiales secundarias, pueden iniciarse a cualquier nivel de la valva ya sea cerca del área central o bien, cerca del margen y las areolas pueden ser hexagonales o pentagonales (Figuras 62, 118-121). Asimismo, se presenta una areola central rodeada por varias areolas Cleve-Ruler (1951, fig. 37a), Hasle y Sims (1986, fig. 3-1), Sancetta (1987, lám. 2, fig. 6) sin que lo mencionen estos autores; y en este estudio, se presentaron dos valvas con esta característica.

La comparación de los datos en medidas y forma de los ejemplares recientes y fósiles no presentaron variaciones considerables (Table 11). Por ello, se puede mencionar que han conservado caracteres fenotípicos a través de varios millones de años.

El análisis anterior da argumentos para mencionar que *C. perforatus* var. *cellulosa*, y *C. perforatus* var. *pavillardii* corresponden a *C. radiatus* y, a pesar de que Sancetta (1987) detectó que *C. perforatus* y *C. radiatus* son la misma especie, al no referir valores morfométricos para *C. perforatus*, en este estudio se refuerza su idea, por lo que se retoma su corrección y se adicionan características obtenidas en este estudio.

Coscinodiscus radiatus Ehrenberg emend.

Coscinodiscus apiculatus Ehrenberg 1845, p. 77 (1854, lám. 18, fig. 43; vide Sancetta 1987).

Coscinodiscus obscurus Schmidt 1870, lám. 61, fig. 16 (vide Sancetta 1987).

Coscinodiscus perforatus Ehrenberg 1845, p. 78 (1854, lám. 18, fig. 46; vide Sancetta 1987).

Coscinodiscus perforatus var. *cellulosa* Grunow 1884, p. 75 (vide Hustedt 1930).

Coscinodiscus perforatus var. *pavillardii* (Forti) Hustedt 1930, p. 447, fig. 247.

Valvas discoidales, planas, concavas o convexas, con un manto vertical corto. Diámetro valvar 13-270 μ m. Areolas arregladas en hileras radiales, 3-10 areolas centrales y marginales en 10 μ m. Procesos microlabiados esparcidos sobre la cara valvar. Un anillo de procesos microlabiados en el manto, 1-4 en 10 μ m, con dos procesos macrolabiados asimétricos separados entre 120-147°, ambos tipos de procesos son similares en forma. 6-22 estriaz en 10 μ m. Roseta central conspicua e inconspicua formada por 4-14 areolas, en ocasiones se presenta una areola central rodeada por 5-7 areolas.

Coscinodiscus rothii (Ehrenberg) Grunow

Los rasgos morfométricos de este taxón (Tabla 12) mostraron diferencias en el número de areolas centrales y estriaz, por lo que su rango de variación se ve incrementado.

Resulta interesante destacar que de acuerdo al diámetro valvar Hustedt (1930), refiere a *C. rothii* var. *subsalis* y Cleve-Euler (1951) a *C. subsalsus*, como grupos claramente definidos (Tabla 12). Sin embargo, al analizar los datos referidos por estos autores y compararlos con este estudio, no se evidencian características distintivas para ambos

grupos, y en algunos casos se sobreponen. Por lo que se sugiere que corresponden únicamente a *C. rothii*.

De igual manera, es importante señalar que en las muestras de material fósil no se encontró a esta especie. Sin embargo, en el estudio de Kim y Barron (1966), se indica su presencia en muestras de San Gregorio, Baja California Sur, con una antigüedad de aproximadamente 27 millones de años; y aunque no mencionan rasgos morfométricos al analizar su figura 4, lámina 1, estos se encuentran entre los valores obtenidos en los ejemplares recientes del sur del Golfo de México (Tabla 12).

Con lo que resulta la siguiente corrección de esta especie:

Coscinodiscus rothii (Ehrenberg) Grunow emend.

Coscinodiscus subsalsus Juhlin-Dannfelt 1932, p. 47 (vide Hustedt 1930, Cleve-Euler 1951).

Coscinodiscus rothii var. *subsalsa* (Juhlin-Dannfelt) Hustedt 1930, p. 402, fig. 212.

Valva circular cóncava o convexa. Dismetro valvar 24-175 μ m. 6-11 areolas centrales a 6-13 areolas marginales en 10 μ m. 5 procesos microlabiados en 10 μ m. 9-12 procesos macrolabiados, ángulo separación 20-45°, 1 proceso

macrolabiado en 10 μ m. 11-17 estrias en 10 μ m. 3-5 areolas roseta central. Algunos casos 6-9 areolas rodean areola central.

Lo anterior, permite mencionar que es necesario detallar el estudio de esta especie; aunado a que posee características morfológicas peculiares del género *Actinocyclus*, como es la presencia en el manto de más de dos procesos macrolabiados en la cresta valvar; rasgos de *Coscinodiscus* por la presencia de un proceso macrolabiado en el borde y un anillo de procesos microlabiados en la porción media del manto (Figuras 125-128). Por lo que resulta una combinación extraña entre *Actinocyclus* y *Coscinodiscus*. Aspecto que puede interpretarse de valor ontogenético del género en estudio.

Con base en lo anterior, cabe mencionar que el hecho de haber llevado a efecto el estudio y confrontación de algunos ejemplares fósiles con los recientes, se debe a que la mayor parte de las especies de *Coscinodiscus* fueron descritas originalmente a partir de las primeras, por lo que es necesario llevar a efecto análisis simultáneos cuando se emprendan trabajos de índole morfológico, taxonómico y sistemático con las diferentes categorías de este grupo.

De igual manera, al revisar las características en cuanto al arreglo de las areolas, su número como el de las estriás, y el diámetro valvar, se nota que son rasgos inconsistentes para diagnosticar a las especies de este género si no se toma en consideración el número, y en particular la forma de los procesos micro y macrolabiodos con la utilización de microscopía electrónica de barrido.

Asimismo, por los resultados obtenidos se comparte la idea de Fryxell y Ashworth (1988), de que al parecer son muy pocas las especies vivientes en relación a las que han sido descritas por lo que el género no es tan complejo como se ha pretendido y, en la actualidad se tiene una versión corregida de la diagnosis del género *Coscinodiscus*, mencionada por Hasle y Sims (1986) de la siguiente manera:

Coscinodiscus Ehrenberg 1839, p. 72 (1840, p. 128).

Células discoideas o en forma de tambor. Numerosos cloroplastos paristales en forma de disco. Células solitarias. Cíngulo integrado por una amplia valvocopula en forma de collar y en su mayoría con dos bandas estrechas, todas ellas con hileras regulares de pequeñas areolas. Valvas usualmente circulares, planas o más o menos convexas. Presenta o carece de una área central hialina o una roseta central de areolas. Areolas loculadas con vela externa y

foramina interna, en hileras radiales y algunas veces con hileras espirales secundarias. Un anillo marginal de procesos labiados incluyendo dos procesos más grandes, algunas veces con un segundo anillo en el manto y uno o más anillos irregulares en la cara valvar. Todos los procesos se proyectan hacia el interior no hacia el exterior de las valvas.

Sin embargo, a consecuencia del análisis morfológico llevado a efecto, se hace la siguiente rectificación:

Coscinodiscus Ehrenberg emend.

Células discoideas o en forma de tambor. Numerosos cloroplastos parietales en forma de disco. Células solitarias. Cíngulo integrado por una amplia valvocópula en forma de collar y en su mayoría con dos bandas estrechas, todas ellas con hileras regulares de pequeñas areolas. Valvas usualmente circulares, planas o más o menos convexas o cóncavas. Presenta o carece de una área central hialina o una roseta central de areolas. Areolas loculadas con vela externa y foramina interna, en hileras radiales y algunas veces con hileras espirales secundarias, en ocasiones con areolas especializadas. Un anillo marginal de procesos microlabiados, algunas veces con un segundo anillo en el manto o en la cara valvar, uno o más anillos irregulares en

la cara valvar, presenta dos procesos macrolabiados asimétricos en algunos casos más de dos. Todos los procesos se proyectan hacia el interior no hacia el exterior de las valvas. En ocasiones se presentan dos o más protuberancias silíceas en el área central o en posición excéntrica.

Por otro lado, en cuanto a la relación que presenta *Coscinodiscus* con otros géneros, ésta se manifiesta por la presencia de los procesos macrolabiados (rimoportulæ). Hecho que acontece en *Actinocyclus* (Figuras 129-130), *Actinoptychus* (Figuras 131-132), *Asteromphalus* (Figuras 133-134), *Hemidiscus* (Figuras 135-136), *Azpeitia* (Figuras 137-140), *Planktoniella* (Figura 141), *Roperia* (Figuras 143-144), *Stellarima* (Figuras 145-149) y *Thalassiosira* (Figuras 150-151) entre otros.

Es importante destacar la presencia de procesos macrolabiados que en combinación con los procesos microlabiados de *Coscinodiscus*, parece mostrar la existencia de un origen y funciones similares (Fryxell y Hasle 1973, Simonsen 1979, Andersen et al. 1986, Fryxell et al. 1986, Watkins y Fryxell 1986, Fryxell y Ashworth 1988). Esto se puede exemplificar con *C. asteromphalus* que presentó una valva con varios procesos macrolabiados cercanos (Figura 15) y *C. rothii* que típicamente presenta varios (Figuras 124-128), ya que reflejan parte de la ontogenia del género *Coscinodiscus* y lo lleva a una estrecha relación con

Actinocyclus (Figuras 129-130), *Roperia* (Figuras. 143-144) y *Azpeitia* (Figuras 137-140). De tal manera que es posible suponer un estado de desarrollo evolutivo temprano, en el que algún representante del género *Coscinodiscus* desembocó en el origen de *Azpeitia* y *Actinocyclus*, así como este último en la formación de *Roperia*. Al respecto, es importante indicar que *Azpeitia* carece de pseudonódulos; por lo cual, se difiere de la opinión de Fryxell et al. (1986), Watkins y Fryxell (1986), y no se le debe incluir en la familia *Hemidiscaceae*. Por lo tanto, es posible que este género pertenezca a una nueva familia y entonces se le transfiera a la familia *Azpeitiaceae*.

Asimismo, es interesante mencionar el hecho de que *Psammodiscus* (Figura 142), recientemente transferido de *Coscinodiscus* (Round y Mann 1980) se relaciona con él, aunque carece de procesos microlabiados y se presentan casos en los que hay ausencia de procesos macrolabiados. Al respecto, Kim y Barron (1986) al retomar la idea de Fenner (1982), llevaron a efecto la transferencia de *C. praenitidus* a *Rocella praenitida*, señalando la presencia de una rimoportula central, rasgo común de *Azpeitia*, por lo que es factible que también se haya originado de *Coscinodiscus*, lo que permite inferir a un ancestro común tanto para *Azpeitia* como para *Rocella* así como derivado de este último a *Psammodiscus*, y aunque se requieren más estudios, *Azpeitia*,

Rocella y Psammodiscus tienden a reforzar la creación de la familia Azpeitiaceae.

Finalmente, como consecuencia del análisis morfológico llevado a efecto, se sugiere la utilización del término "puente silíceo circular", para designar a la estructura que se localiza en la base de la valva y que une a los elementos de la criba, paredes de las cámaras loculares y foramina interna (Figuras 87-89). En este aspecto, cabe remarcar que en la terminología actual no se menciona (Ross y Sims 1972, von Stosch 1974, Anónimo 1975, Ross et al. 1979).

CONCLUSIONES

Por medio del análisis morfológico y sistemático llevado a efecto en el presente estudio, se obtuvo:

- 1). Probar una técnica mixta para la limpieza del material reciente y fósil, con lo que resultó ser de gran utilidad, ya que se obtuvo la clara observación de los detalles ultraestructurales de las especies analizadas. Por lo que se propone su uso sobre todo cuando se trabajen ejemplares robustos, ya que puede deteriorar a los debilmente silicificados.
- 2). La determinación de 10 especies del género *Cescinodiscus*: *C. alboranii* Pavillard, *C. asteromphalus* Ehrenberg, *C. centralis* Ehrenberg, *C. concinnus* Smith, *C. jonesianus* (Greville) Ostenfeld, *C. marginatus* Ehrenberg, *C. perforatus* var. *cellulosa* Grunow, *C. perforatus* var. *Pavillardii* (Forti) Hustedt, *C. radiatus* Ehrenberg y *C. rothii* (Ehrenberg) Grunow.
- 3). Se observó en general el incremento de los caracteres morfométricos de estas especies, en particular el número de areolas centrales y marginales así como estriaciones en 10 μm , ángulo de separación de los procesos macrolabiados, número de areolas que forman a la roseta central, e incluso casos en los que una areola central se encuentra rodeada de varias

areolas. Aspecto que lleva ha distinguir una mayor variabilidad de estos rasgos distintivos.

4). Se encontró, que las hileras radiales primarias de areolas surgen de areolas heptagonales, hexagonales o pentagonales; y las hileras radiales secundarias de areolas se inicián fuera del centro y a cualquier nivel de la valva, de areolas hexagonales o pentagonales.

5). Se obtuvo la inconsistencia del diámetro valvar, forma de las areolas, arreglo de las mismas, e incluso su número así como de las estriás en 10 μm para estudios de morfología, taxonomía y sistemática, principalmente cuando se analizan pocos ejemplares por medio de microscopía fotónica.

6). La forma y posición de los procesos micro y macrolabiados se distinguen como caracteres de utilidad diagnóstica, por lo que su estudio debe llevarse a efecto con microscopía electrónica de barrido.

7). La confrontación de las especies del Reciente con las del Mioceno tardío y una del Oligoceno tardío, permitió hacer la estimación de que se trata de taxa con caracteres fenotípicos conservativos.

8). Debido a que no se presentaron diferencias morfológicas notables, se llevó a efecto la reducción del número de especies analizadas por lo que: *C. asteromphalus* Ehrenberg y *C. centralis* var. *pacifica* Gran y Riedel corresponden a *C. centralis* Ehrenberg, se tiene el caso de que *C. jonesianus* var. *commutata* (Grunow) Hustede y *C. commutatus* (Grunow) son *C. jonesianus* (Greville) Ostenfeld, en cuanto a *C. perforatus* var. *cellulosa* Grunow y *C. perforatus* var. *pavillardii* (Forti) Hustede se fusionan a *C. radiatus* Ehrenberg, *C. rothii* var *subsalsa* (Juhlin-Dannfelt.) Hustede y *C. subsalsus* Juhlin-Dannfelt son incluidos en *C. rothii* (Ehrenberg) Grunow.

9). Como resultado de los caracteres morfológicos presentes en las especies estudiadas, se hacen enmiendas tanto al género *Coscinodiscus*, así como a *C. centralis*, *C. jonesianus*, *C. radiatus* y *C. rothii*.

10). Se obtuvo una fuerte relación morfológica de los procesos macrolabiados en varios géneros, por lo que existe la posibilidad de que *Coscinodiscus* haya sido el responsable del origen de *Azpeitia*, *Rocella* y *Actinocyclus*; así como la derivación de *Psammodiscus* a partir de *Rocella*, y *Roperia* de *Actinocyclus*.

11). Los géneros *Azpeitia*, *Rocella* y *Psammodiscus* pueden ser representantes de la familia *Azpeitiaceae*.

12). Se incorpore a la terminología actual el término "puente silíceo circular".

LITERATURA CITADA

- AKIBA, F. & YANAGISAWA, Y. (1986). Taxonomy, morphology and phylogeny of the Neogene diatom zonal marker species in the middle- high latitudes of the North Pacific. Initial Reports Deep Sea Drilling Project, 82, 483-557.
- ANDERSEN, R.A., MEDLIN, L. E. & CRAWFORD, R. M. (1986). An investigation of the cell wall components of *Astingoeckius subtilis* (Bacillariophyceae). Journal of Phycology, 22, 466-479.
- ANONIMO. (1975). Proposals for a standardization of diatom terminology and diagnoses. Nova Hedwigia Beib., 53, 323-354.
- ANONIMO. (1980). Informe de los trabajos realizados para el control del pozo Ixtoc 1, el combate del derrame de petróleo y determinación de sus efectos sobre el ambiente marino. Programa Coordinado de Estudios Ecológicos en la Sonda de Campeche. IMP. 1-242. Mexico.
- BJÖRNBERG, T.K.S. (1971). Distribution of plankton relative to the general circulation system in the area of the Caribbean Sea and adjacent regions. In: SYMPOSIUM ON INVESTIGATIONS AND RESOURCES OF THE CARIBBEAN SEA AND ADJACENT REGIONS. 343-356. UNESCO, Paris.
- BOALCH, G.T. (1971). The typification of the diatom species *Coscinodiscus concinna* Wm. Smith and *Coscinodiscus strobilii* Gough. Journal Marine Biology, 71, 685-695.
- BOYER, C.S. (1927). Synopsis of north american Diatomaceae. Part I. Coscinodiscatae, Rhizosolenatae, Riddulphinatae, Fragilariaetae. Proc. Acad. Nat. Sci. Philadelphia, 78, 1-563.
- BROOKS, M. (1975a). Studies on the genus *Coscinodiscus*. I. Light, transmission and scanning electron microscopy of *C. concinna* Wm. Smith. Botanica Marina, 18, 1-13.
- BROOKS, M. (1975b). Studies on the genus *Coscinodiscus*. II. Light, transmission and scanning electron microscopy of *C. strobilii* Gough. Botanica Marina, 18, 15-27.
- BROOKS, M. (1975c). Studies on the genus *Coscinodiscus*. III. Light, transmission and scanning electron microscopy of *C. strobilii* Gough. Botanica Marina, 18, 29-39.
- CARRERO, A.L. (1985). Biostratigraphy of the late Miocene to Pliocene on the Pacific island María Madre, México. Microfauna, 31(2), 139-166.

- CLEVE-EULER,A. (1951). Die Diatomeen von Schweden und Finnland. *L. Svenska Vetensk Akad. Handl. Ser.4*, 4(1), 95-110.
- CONGER,P.S., FRYKELL,G.A. & EL-SAYED,S.Z. (1972). Diatom species reported from the Gulf of Mexico. In: Chemistry, Primary Productivity, and Benthic Algae of the Gulf of Mexico. The Marine Environment. AMERICOAD Geobiological Society. (V.Bushnell, ed.), Folio 22, 18-23.
- CONTARDI,P.J. & DAVIS,R.F. (1981). Sodium fluxes in the marine diatom *Gessipodioides asteromphalus*. *Plant Physiology*, 67(4 suppl.), 6.
- CRUZ,A. (1971). Estudios de plancton en el Banco de Campeche. In: Symposium on Investigations and Resources of the Caribbean Sea and Adjacent Regions. 375-383. UNESCO, Paris.
- CUPP,E.E. (1943). Marine plankton diatoms of the west coast of North America. *Bull. Scripps Inst. Oceanogr.*, 5, 1-37.
- DELGADO,D. (1985). Distribucion y abundancia de fitoplankton en la plataforma de Yucatan, Méx. UNAM, Tesis Licenciatura, 1-48.
- EL-SAYED, S.Z., SACKETT, W.M., JEFFREY, L.M., FREDERICKS, A.D., SAUNDERS, R.P., CONGER, P.S., FRYKELL, G.A., STEIDINGER, K.A. & EARLE, S.A. (1972). Serial atlas of the marine environment. Chemistry, primary productivity, and benthic algae of the Gulf of Mexico. AMERICOAD Geobiological Society (V.Bushnell, ed.), Fol. 22, 1-29.
- ESTRADA, M. & BLASCO, D. (1979) Two phases of the phytoplankton community in the Baja California upwelling. *Limnology and Oceanography*, 24(6), 1065-1080.
- FALKOWSKI,P.G. (1983). Light-shade adaptation and vertical mixing of marine phytoplankton: a comparative field study. *Journal of Marine Research*, 41(2), 215-237.
- FENNER,J. (1982). Diatoms in the Eocene and Oligocene sediments off N. W. Africa, their stratigraphic and paleogeographic occurrences. Ph. D. dissertation. University of Kiel, West Germany. 1-230.
- FRYKELL,G.A. (1978). Proposal for the conservation of the diatom *Gessipodioides argus* Ehrenberg as the type of the genus. *Iakov*, 22, 122-125.
- FRYKELL,G.A.& ASHWORTH,T. K. (1988). The diatom genus

- Coscinodiscus Ehrenberg: characters having taxonomic value. *Botanica Marina*, 21, 359-374.
- FRYNELL, G.A. & HASLE, G.R. (1973). Coscinodiscinae: consistent patterns in diatom morphology. *Nova Hedwigia* Beib., 42, 69-84.
- FRYNELL, G.A. & HASLE, G.R. (1977). The genus *Ithalassiosira*: some species with a modified ring of central strutted processes. In: *Fourth Symposium on Recent and Fossil Marine Diatoms* (R. Simonsen, ed.). 67-98. Koeltz, Koenigstein.
- FRYNELL, G.A., SIMS, P.A. & WATKINS, T.P. (1986). *Acosetis* (Bacillariophyceae): related genera and pormorphology. *Systematic Botany Monographs*, 13, 1-74.
- GOMEZ-AGUIRRE, S. (1965a). Comportamiento estacional del plancton de la laguna de Terminos, Campeche, México (resultados preliminares). UNAM. Tesis Licenciatura. 1-106.
- GOMEZ-AGUIRRE, S. (1965b). Algunas consideraciones acerca del fitoplantón primaveral en la Boca de Paco Real, Campeche. Bo. Inst. Biol. UNAM. 34, 65-69.
- GOMEZ-AGUIRRE, S. (1974). Reconocimientos estacionales de hidrología y plancton en la laguna de Terminos (1964-1965). Bo. Centro Cienc. del Mar y Limnol. Univ. Nac. Autón. México. 1(1), 61-82.
- GOMEZ-AGUIRRE, S. (1977). Observaciones comparativas de resultados de estudios del plancton de Lagozas Costeras del Golfo de México. In: Mem. II SIMP. Latziger. Oceanogr. Biol. Univ. Oriente. Cumana. Venezuela. Edic. Mex. 1973. 1, 31-33. 4 figs.
- GRIJALVA, N. (1971). The M2 tide in the Gulf of Mexico. *Geofísica Internacional*, 11, 103-125.
- HARDING, J.L. & NOWLIN, W.D. Jr. (1986). Physical oceanography of the Gulf of Mexico. In: *The Encyclopedia of Oceanography*, 1, 324-331. Reinhold Pub. Co., New York.
- HASLE, G.R. (1983). *Ithalassiosira punctigera* new combination a widely distributed marine planktonic diatom. *Notog. J. Bot.*, 2(5), 593-608.
- HASLE, G.R. & FRYNELL, G.A. (1970). Diatoms: cleaning and mounting for light and electron microscopy. *Trans. Am. Microsc. Soc.*, 89 (4), 469-474.
- HASLE, G.R. & FRYNELL, G.A. (1977). The genus *Ithalassiosira*:

- some species with a linear areola array. In: *Euktur SYMBIOSIUM on Recent and Fossil Marine Diatoms*. (R. Simonsen, ed.). 15-66. Koeltz, Koenigstein.
- HASLE, G.R. & HEINDAL, B.R. (1971). Morphologic variability in fasciculated diatoms as exemplified by *Ihalezziosira tumida* (Janisch) Hasle, comb. nov. *Antarctic Research Series*, 17, 313-330.
- HASLE, G.R. & SIMS, P.A. (1986a). The diatom genera *Stellariina* and *Symbiochora* with comments on the genus *Osticeratitychus*. *Br. Phycol. J.*, 21(1), 97-114.
- HASLE, G.R. & SIMS, P.A. (1986b). The diatom genus *Coccinediacytus* Ehrenb., *C. annulus* Ehrenb. and *C. radiatus* Ehrenb. *Botanica Marina*, 29, 305-318.
- HASLE, G.R. & SYVERTSEN, E.E. (1984). *Coccinediaceus* *Eusepidiatus* Pant. and *C. pseudolineatus* Jousé as synonyms of *Ihalezziosira leptocetus* (Grun.). Hasle and Fryxell. In: *Proceedings Seventh International Diatom Symposium* (D.G. Mann, ed.), 149-155. Koeltz, Koenigstein.
- HASLE, G.R. & SYVERTSEN, E.E. (1985). *Ihalezziosiraceae*, a new diatom genus from the fossil records. *Microfossil Paleontology*, 21(1), 81-91.
- HASLE, G.R., SIMS, P.A. & SYVERTSEN, E.E. (1988). Two recent *Stellariina* species: *S. bicostata* and *S. stellatula* (Bacillariophyceae). *Botanica Marina*, 31, 195-206.
- HENDEY, N.I. (1964). An introductory account of the smaller algae of British coastal waters. Part 2. Bacillariophyceae (Diatoms). I-317. HMSO., London.
- HOLMES, R.W. & REIMANN, B.E.F. (1966). Variation in valve morphology during the life cycle of the marine diatom *Coccinediaceus coccinopus*. *Phycologia*, 5(4), 233-244.
- HUSTEDT, F. (1930). Die Kieselalgen Deutschlands, Österreichs und der Schweiz und der Berücksichtigung der übrigen Länder Europas sowie der angrenzenden Meerengegebiete. In: *Die Kryptogamenflora von Deutschland, Österreich und der Schweiz* (L. Rabenhorst, ed.), 2(1), 1-920. Akad. Verlag., Leipzig.
- JOUSÉ, A.P. (1963). The Bacillariophyta. *Oceanic Paleontology*, 14, 55-151.
- KIM, W.H. & BARRON, J.A. (1986). Diatom biostratigraphy of the upper Oligocene to lowermost Miocene San Gregorio Formation, Baja California Sur, Mexico. *Diatom Research*, 1(2), 169-187.

LICEA,S.,LUNA,R. y TORRES,P. (1980a). Informe parcial de los trabajos contratados de fitoplancton y productividad en el programa coordinado de estudios ecológicos de la Sonda de Campeche (Primer informe), UNAM/ICMyL, 1-20, 6 tabs., 7 figs., 5 láms.

LICEA,S., LUNA, R. y TORRES, P. (1980b). Comunidades y producción de fitopláncton en la región occidental de la Sonda de Campeche durante las campañas de octubre a diciembre de 1979. In: "Evaluación de los posibles efectos del derrame del pozo Ixtoc I, sobre las comunidades del fitopláncton y la producción primaria" (Segundo informe), UNAM/ICMyL, 1-15, 11 tabs., 5 figs., 6 láms.

LICEA,S.,LUNA,R. y TORRES,P. (1981). Comunidades y producción de fitopláncton en la región occidental de la Sonda de Campeche durante las campañas de febrero a junio de 1980, así como las conclusiones del primer ciclo anual 1979-1980. In: "evaluación de los posibles efectos del derrame del pozo Ixtoc I, sobre las comunidades del fitopláncton y la producción primaria" (Tercer informe), UNAM/ICMyL, 1-26, 22 tabs., 16 figs.

LICEA,S., LUNA, R. y TORRES, P. (1982a). Comunidades y producción de fitopláncton en la región occidental de la Sonda de Campeche durante la campaña oceanográfica FBC-80-08 (20-25 agosto 1980). In: "Evaluación de los posibles efectos del derrame del pozo Ixtoc I, sobre las comunidades del fitopláncton y la producción Primaria" (Cuarto informe), UNAM/ICMyL, 1-14, 14 tabs., 17 figs.

LICEA, S.,LUNA,R. y TORRES,P.(1982b). Aspectos ecológicos del fitopláncton de la región occidental de la Sonda de Campeche de tres campañas oceanográficas realizadas entre noviembre de 1980 y julio de 1981. In: "Evaluación de los posibles efectos del derrame del pozo Ixtoc I, sobre las comunidades del fitopláncton y la producción primaria" (Quinto Informe), UNAM/ICMyL, 1-19, 16 figs., 11 tablas.

LICEA, S.,LUNA,R. y TORRES,P.(1982c). Informe final del Proyecto de investigación: "Evaluación de los posibles efectos del derrame del pozo Ixtoc-I, sobre las comunidades del fitopláncton y la productividad primaria" (Sexto Informe), UNAM/ICMyL, 1-44, 16 figs., 11 tablas.

LICEA,S. y R.LUNA (1986). Fitopláncton y productividad. In: Informe Preliminar del estudio de evaluación del Plancton y la productividad primaria de la laguna de

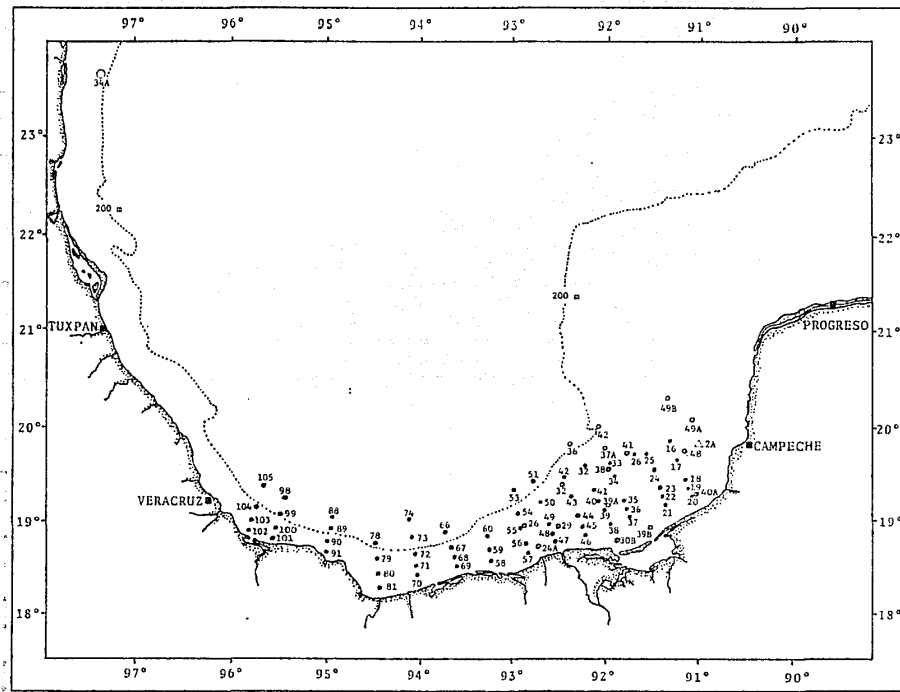
- Tamiahua, Veracruz. UNAM/ICMVL (S.Licea, ed.), 38-53, 8 figs., 13 tablas.
- LOYO-REBOLLEDO, H.E. (1966). Sistemática y distribución de las diatomeas del plancton de la laguna de Terminos, Campeche, México. UNAM, Tesis licenciatura. I-169. 7 láms.
- MARSHALL, H.G. & COHN, M. (1987). Phytoplankton composition of the New York Bight and adjacent waters. Journal of Plankton Research, 9(2), 267-276.
- MEDLIN, L. K., CRAWFORD, R. M. & ANDERSEN, R. A. (1986). Histological and ultrastructural evidence for the function of the labiate process in the movement of centric diatoms. British Phycological Journal, 21, 297-301.
- MOLINARI, R.L. & YAGER, R.E. (1977). Upper layer hydrographic conditions at the Yucatan Strait during May, 1972. Journal of Marine Research, 35(1), 11-20.
- MORENO, L. y AYALA, J.R. (1986). Notas preliminares sobre la flora diatomológica presente en la concha de *Cassidaria virginica* Gmelin, en la laguna de Tamiahua (agosto 1986). In: II Seminario Alejandro Villalobos. Biología de la Laguna de Tamiahua. 22-23 de octubre de 1986 (en prensa).
- MORENO, L., LICEA, S. y AYALA, J.R. (1987). Contenido del tubo digestivo de *Cassidaria virginica* Gmelin. In: Informe Final del estudio de evaluación del plancton y la productividad primaria de la laguna de Tamiahua, Veracruz. UNAM/ICMVL (S.Licea, ed.), 49-157, 1 fig., 4 tablas.
- NOWLIN, W.D. Jr., CAPURRO, L. P. A. & REID, J. L. (1972). Contributions to the physical oceanography of the Gulf of Mexico. 2, 3-51. Gulf Pub. Co., Houston.
- RATTRAY, J. (1889). A revision of the genus *Cassimediscus* and some allied genera. Proc. Royal Soc. Edinburgh, 16, 449-692.
- ROSS, R. & SIMS, P. A. (1972). The fine structure of the frustule in centric diatoms: a suggested terminology. British Phycological Journal, 7, 139-163.
- ROSS, R. & SIMS, P.A. (1974). Observations on family and generic limits in the Centrales. Nova Hedwigia, Beib., 45, 97-121.
- ROSS, R., COX, E. J., KARAYEVA, N.I., MANN, D.G., PADDOCK, T. B. B.,

- SIMONSEN, R. & SIMS, P.A. (1979). An amended terminology for the siliceous components of the diatom cell. Proceedings 5th Symposium on Recent and Fossil Marine Diatoms, Antwerp, 1978. *Nova Hedwigia* Beib., 6d, 511-530.
- ROUND, F.E. & MANN, D.G. (1980). *Eucammodiscus* *bitidys* new genus, new combination based on *Coscinodiscus* *bitidys*. *Ann. Bot.*, 46(3), 367-374.
- SANCETTA, C. (1987). Three species of *Coscinodiscus* Ehrenberg from North Pacific sediments examined in the light and scanning electron microscopes. *Micropaleontology*, 33(3), 230-241.
- SANCETTA, C. & SILVESTRI, S. (1984). Diatom stratigraphy of the late Pleistocene (Brunhes) subarctic Pacific. *Marine Microbiology*, 9, 263-274.
- SANCETTA, C. & SILVESTRI, S. (1986). Pliocene-Pleistocene evolution of the North Pacific Ocean-Atmosphere system, interpreted from fossil diatoms. *Paleoceanography*, 1, 47-53.
- SANTOYO, H. y SIGNORET, M. (1973). Hidrología y fitoplancton en un transecto en la plataforma continental de la Bahía de Campeche, México (agosto de 1972). *Rev. Latamer. Microbiol.* 15, 207-215.
- SANTOYO, H. y SIGNORET, M. (1975). Variación nictemeral del fitoplantcton en la Bahía de Campeche. *Rev. Latamer. Microbiol.* 17, 161-167.
- SCHMIDT, A. et al. (1874-1959). *Atlas der Diatomaceenflora*. Heft 1-120, Tafeln 1-460. R. Reisland, Leipzig.
- SCHRADER, H. (1976). Cenozoic planktonic diatom biostratigraphy of the southern Pacific Ocean. *Initial Reports Deep Sea Drilling Project*, 35, 605-671.
- SCHULZ, D. (1984). The fate of silicalemma and plasmalemma during cell wall formation in *Coscinodiscus* *stapii* and *Ihmalosphaerica* *acceptatrix*. *Ber. Bisch. Bot. Ges.*, 97(3-4), 411-420.
- SIMONSEN, R. (1972). Ideas for a more natural system of the centric diatoms. *Nova Hedwigia* Beib., 22, 37-54.
- SIMONSEN, R. (1974). The diatom plankton of the Indian Ocean expedition of R.V. Meteor, 1964-1965. "Meteor" Ergeb.-Ergebn. Reihe B, 12, 1-107.
- SIMONSEN, R. (1975). On the pseudonodulation of the centric

- diatoms, or Hemicystaceae reconsidered. *Nova Hedwigia* Beib., 59, 113-166.
- SIMONSEN, R. (1972). The diatom system: ideas on phylogeny. *Bacillaria*, 2, 1-71.
- SIMS, P.A. & HASLE, G.R. (1987). Two Cretaceous *Stellarina* species: *S. stellovi* and *S. distincta*: their morphology, palaeogeography and phylogeny. *Diatom Research*, 2(2), 229-240.
- SUAREZ-CAABRO, J.A. y GOMEZ-AGUILAR, S. (1965). Observaciones sobre el plancton de la laguna de Términos, Campeche, México. *Bull. Mar. Biol. Inst. 15(4)*, 1072-1120.
- TAKANO, H. (1976). Scanning electron microscopy of diatoms-III. *Bull. Ichai. Regional Fish. Lab. Japan*, 29, 133-141.
- TAYLOR, N.J. (1986). Silica incorporation in the diatom *Coscinodiscus strobilus* as affected by light intensity. *British Physiological Journal*, 20(4), 365-374.
- TORRES, P. (1986). Acerca de la distribución vertical del fitopláncton frente a Cabo Catoche (nictemeral en abril de 1980). UNAM, Tesis Licenciatura, 1-30, 9 tábs., 16 figs.
- VAN DER WERFF, A. & HULS, H. (1957-1974). *Diatomeënflora van Nederland*. 1-142. Koeltz, Koenigstein.
- VANLANDINGHAM, S.A. (1968). Catalogue of the fossil and recent genera and species of diatoms and their synonyms. Part II. *Dactyliosira* through *Coscinodiscus*. 494-1088. Verlag vom J. Cramer, Vaduz.
- von STOSCH, H.A. (1974). An amended terminology of the diatom girdle. In: *Proceedings of the 3rd Symposium on Recent and Fossil Marine Diatoms* (R. Simonsen, ed.), 1-28. Koeltz, Koenigstein.
- von STOSCH, H.A. (1985). Some marine diatoms from the Australian region, specially from Port Phillip Bay and tropical north-eastern Australia. *Scandinavia*, 8, 293-348.
- WATKINS, T.P. & FRYWELL, G.A. (1986). Generic characterization of *Ostineaocystis*: consideration in light of three new species. *Diatom Research*, 1(2), 291-312.
- WERNER, D. (1977). The biology of diatoms. *Botanical monograph* (D. Werner, ed.), 13, 110-149. Black, Sci. Pub. London.
- WHITING, M.C. & SCHRADER, H. (1985). Late Miocene to early

Pliocene marine diatom and silicoflagellate floras from
the Oregon coast and continental shelf.
Microfauna, 21(3), 249-270.

WORNARDT, W. W. Jr. (1967). Miocene and Pliocene marine diatoms
from California. *Bull. Calif. Acad. Sci.*. Occas. Papers, 62, 1-108.



- COSMA 71-04 (28 marzo-2 abril, 1971)
- COSMA 71-18 (21-26 septiembre, 1971)
- COSMA 72-02 (28 enero-2 febrero, 1972)
- COSMA 72-12 (7-15 agosto, 1972)
- △ FBC-82-03 (20-26 marzo, 1982)
- OGMEX I (24 febrero-10 marzo, 1987)
- OGMEX II (27 julio-6 agosto, 1987)
- OGMEX III (29 noviembre-4 diciembre, 1987)
- OGMEX V (1-10 agosto, 1988)
- OGMEX VIII (6-18 septiembre, 1989)

Fig. 1. Campañas oceanográficas y localización de las estaciones de muestreo

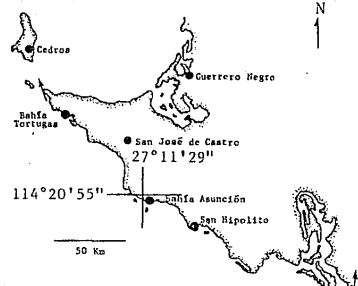


Fig. 2. Sección Valle de Diatomita

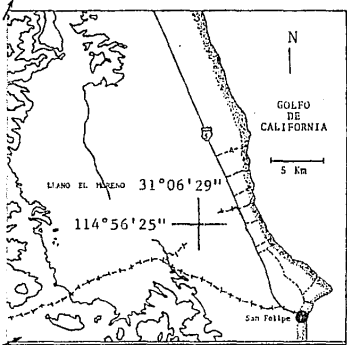


Fig. 3. Sección San Felipe

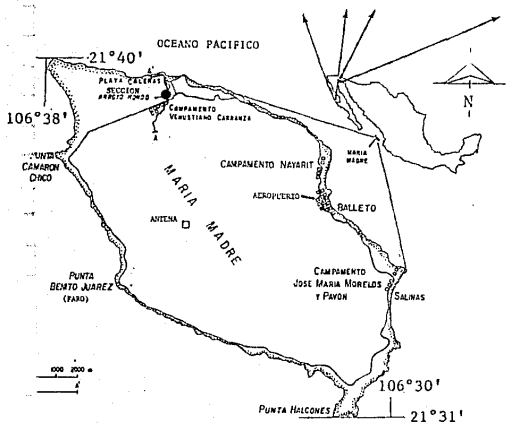


Fig. 4. Sección Arroyo Hondo

Tabla No.1. Localización de las estaciones de muestreo de las campañas oceanográficas COSMA 71-04-COSMA 72-12, FBC-82-03.

Estación	Latitud norte	longitud oeste
24A	18°41.0'	92°47.0'
26	18°54.2'	92°54.2'
29	18°53.9'	92°28.7'
30B	18°47.0'	91°58.0'
32	19°21.0'	92°29.0'
36	19°46.7'	92°24.0'
37A	19°48.0'	92°03.0'
38	19°28.3'	91°58.1'
39A	19°10.0'	91°47.0'
39B	18°53.0'	91°30.0'
40A	19°18.1'	91°06.2'
41	19°41.9'	91°43.9'
42	19°59.9'	92°03.5'
48	19°48.8'	91°07.7'
49A	20°09.0'	91°02.0'
49B	20°10.0'	91°27.0'
2A	19°45.0'	91°13.0'

Tabla No. 2. Localización de las estaciones de muestreo de las campañas oceanográficas OGEMEX I-V, VIII.

Estación Lat.norte Long.oeste Estación Lat.norte Long.este

16	19°51.0'	91°14.0'	78	18°39.0'	94°24.0'
17	19°37.0'	91°10.0'	79	18°26.0'	94°24.0'
18	19°26.0'	91°05.0'	80	18°19.0'	94°24.0'
19	19°22.0'	91°03.0'	81	18°15.0'	94°24.0'
20	19°17.0'	91°02.0'	88	18°59.0'	94°51.0'
21	19°27.0'	91°13.0'	89	18°49.0'	94°55.0'
22	19°32.0'	91°18.0'	90	18°44.0'	94°58.0'
23	19°36.0'	91°22.0'	91	18°37.0'	94°59.0'
24	19°44.0'	91°30.0'	98	19°09.0'	95°24.0'
25	19°52.0'	91°38.0'	99	19°01.0'	95°30.0'
26	19°41.0'	91°45.0'	100	18°53.0'	95°31.0'
32	19°32.0'	92°09.0'	101	18°48.0'	95°33.0'
33	19°36.0'	91°56.0'	102	18°54.0'	95°44.0'
34	19°24.0'	91°52.0'	103	18°58.0'	95°47.0'
34A	23°39.1'	97°19.7'	104	19°02.0'	95°46.0'
35	19°10.0'	91°47.0'	105	19°13.0'	95°41.0'
36	19°05.0'	91°46.0'			
37	19°01.0'	91°44.0'			
38	18°56.0'	91°58.0'			
39	19°00.0'	92°00.0'			
40	19°06.0'	92°03.0'			
41	19°03.0'	92°07.0'			
42	19°26.0'	92°26.0'			
43	19°14.0'	92°22.0'			
44	19°04.0'	92°22.0'			
45	19°00.0'	92°24.0'			
46	18°57.0'	92°26.0'			
47	18°47.0'	92°30.0'			
48	18°51.0'	92°33.0'			
49	18°53.0'	92°35.0'			
50	19°08.0'	92°40.0'			
51	19°26.0'	92°47.0'			
53	19°17.0'	92°51.0'			
54	19°05.0'	92°53.0'			
55	18°51.0'	92°50.0'			
56	18°46.0'	92°47.0'			
57	18°41.0'	92°48.0'			
58	18°32.0'	93°13.0'			
59	18°37.0'	93°14.0'			
60	18°42.0'	93°18.0'			
66	18°50.0'	93°45.0'			
67	18°36.0'	93°40.0'			
68	18°31.0'	93°40.0'			
69	19°18.0'	92°07.0'			
70	18°18.0'	94°02.0'			
71	18°22.0'	94°03.0'			
72	18°29.0'	94°04.0'			
73	18°43.0'	94°07.0'			
74	18°55.0'	94°07.0'			

Tabla No.3. Datos morfométricos de Coscinodiscus alboranii Pavillard, obtenidos en este estudio y en la literatura consultada

Autor	Localidad	No. ejemplar	Diámetro en μm	Areolas centrales en $10 \mu\text{m}$	Areolas marginales en $10 \mu\text{m}$	Areolas endoquísticas en $10 \mu\text{m}$	Microlabiados en $10 \mu\text{m}$	No. macrolabiados	Macrolabiados ángulo de separación	Estrías en $10 \mu\text{m}$	No. areolas roseta central
Sur Golfo México		1	108.0	11	11	5-7	1-2	2	151°	-	-
		2	-	-	11	6	1	-	-	12-13	-
		" 3	-	9-11	10	6-7	1	-	-	12-13	11
Hustedt 1930 von Stosch 1985			60-70 38-215	12-14 7	- 8-9.5	2-4 2-4	- 1-2	2 ..	- 125°	- -	- -

Tabla No. 4. Datos morfométricos de Coscinodiscus asteromphalus Ehrenberg, obtenidos en este estudio y en la literatura consultada.

Autor	Localidad	No. ejemplar	Diámetro en μm	Areolas centrales en $10 \mu\text{m}$	Areolas marginales en $10 \mu\text{m}$	Microlabiados en $10 \mu\text{m}$	No. macro-labiados	Macrolabiados ángulo de separación	Estrías en $10 \mu\text{m}$	No. areolas roseta central	Areolas中央 areolas red.
	Sur Golfo México	1	71.7	6	5-6	3-3	-	-	9	-	6
	"	2	90.0	6	6-7	-	-	-	7-8	6	-
	"	3	87.5	5-5	7	-	2	167°	7	6	-
	"	4	93.3	5-6	6-7	-	2	152°	7	5	-
	"	5	110.0	6	8	2-3	6	140°	8-12	6	-
	"	6	91.1	5-6	6-8	-	2	164°	9	6	-
	"	7	84.0	5-6	7	2	2	156°	8	6	-
	"	8	110.0	5-6	7	2	2	157°	8	6	-
	"	9	120.0	6	7	2	2	160°	-	6	-
	"	10	141.7	6-7	6-7	2-3	-	-	10	6	-
	"	11	82.5	6-7	7	1-2	2	155°	8	-	-
	"	12	87.5	6-7	6-7	1-2	2	148°	9	6	-
	"	13	65.0	8-8	8	1-2	2	149°	11	5	-
	"	14	112.5	5-6	5	2	-	-	11	5	-
	"	15	-	5-6	5-6	1-2	-	-	7	7	-
	"	16	117.5	6-7	8	2	2	154°	11	7	-
	"	17	-	5-6	5	-	-	-	11	7	-
	"	18	58.8	10	10	2	2	147°	14	7	-
	"	19	56.3	9	10-11	2	2	147°	-	9	-
	"	20	56.3	10	10	2-3	-	-	14	8	-
	"	21	73.3	9	10	-	-	-	12	5	-
	"	22	51.7	10	11-13	-	-	-	-	7	-
	"	23	31.8	11-12	13	2-3	2	140°	-	6	-
	"	24	64.3	9-10	9	2	2	154°	15	6	-
	"	25	64.3	9-10	9-10	2	2	163°	-	6	-
	San Felipe	26	160.0	6-6	6-7	2	-	-	-	-	-
	San Felipe	27	120.0	5-6	5-5	2-3	-	-	-	9	-
	San Felipe	28	115.0	4-5	5-5	2	2	134°	11	9	-
	Arroyo Hondo	29	150.0	5	6	2	-	-	11-13	9	-
	Arroyo Hondo	30	50.7	4-5	4-5	2	-	-	-	-	6
	Valle Diatomita	31	-	6	-	-	-	-	-	5	-
	Valle Diatomita	32	-	5-6	-	-	-	-	-	5	-
	Valle Diatomita	33	117.5	4-5	4-5	2	-	-	7	5	-
	Valle Diatomita	34	110.0	4-5	4	-	-	-	6	8	-
Rattray 1889			85-300	3.5-4	6-7	-	-	-	4	Distinctiva	-
Hustedt 1930			80-400	3-5	-	-	-	-	4-6	Distinctiva	-
Clevé-Euler 1951			65-400	2.5-7.5	5-10	-	-	-	-	Distinctiva	-
Brooks 1975b			80-400	3-5	-	-	2	60-120°	4-6	Distinctiva	-
Fryxell y Ashworth 1988			29-118	3.4-4.2	3.4-4.8	2	2	105°	-	Distinctiva	-

Tabla No.5. Datos morfométricos de Coscinodiscus centralis Ehrenberg, obtenidos en este estudio y en la literatura consultada.

Autor	Localidad	No. ejemplar	Diámetro en μm	Areolas centrales en $10 \mu\text{m}$	Areolas marginales en $10 \mu\text{m}$	Microlabiodados en $10 \mu\text{m}$	No. macrolabiodados	Macrolabiodados ángulo de separación	Estrías en $10 \mu\text{m}$	No. areolas roseta central
Sur Golfo México	1	97.8	9	10-11	2	2	154°	16	9	
"	2	82.1	7	8	2	2	145°	9	7	
"	3	81.0	7	7	1-2	2	139°	-	7	
"	4	81.0	7-8	8	1-2	2	151°	11	6	
"	5	91.0	6	6-7	1-2	2	151°	9	6	
"	6	161.7	6	6-7	1-2	2	142°	7	9	
"	7	161.7	6-7	6	1-2	-	-	-	7	
"	8	132.0	6	6	1-2	2	152°	9	9	
Rattray 1889		120-255	4-4.5	5	-	2	-	6	Distintiva	
Hustedt 1930		100-300	3.5-4	6	1-2	-	-	6	Distintiva	
Cupp 1943 como var. pacifica		145-260	3.5-4	5-6	2	2	-	6-8	Distintiva	
Cleve-Euler 1951		70-300	4-5	-	-	-	-	6	Distintiva	78

Tabla No.6. Datos morfométricos de Coscinodiscus concinnus (Smith) Boalch, obtenidos en este estudio y en la literatura consultada.

Autor	Localidad	No. ejemplar	Díámetro en μ	Areolas centrales en 10μ	Areolas margen mano en 10μ	Microlabiolados margen mano en 10μ	No. macrolabiolados	Macrolabiolados ángulo de separación	Estrías en 10μ	No. areolas roseta central
Sur Golfo M<sup>2a</sup>	1	380.0	6-7	-	7-8	-	1-2	2	-	12
"	2	390.0	7-7	6-7	-	-	-	-	-	18
"	3	335.0	5-7	-	7-8	2	2	2	-	6-7
"	4	340.0	7	-	7-8	-	1-2	-	-	7-8
"	5	335.0	7-8	6	6-7	2	1-2	-	-	7
"	6	250.0	8	-	8	2-2	2	-	-	6
"	7	226.3	7	-	8	2-2	2	-	-	13
"	8	353.9	7-8	-	-	-	-	-	-	17
"	9	226.1	7-8	7	9	2	2	165°	19	9
"	10	225.5	6-7	-	-	-	-	-	-	16
"	11	271.9	7-8	-	-	-	-	-	-	16
"	12	226.3	5-6	6	7-8	2	2	-	-	15
"	13	226.7	-	-	7	-	2-2	-	-	18
"	14	294.7	7-8	-	-	-	-	-	-	13
"	15	358.1	6-7	6	-	2	2	-	-	17
"	16	311.4	7-8	-	-	-	-	159°	-	-
"	17	343.6	8	-	7-8	8	1	1-2	-	7
"	18	230.0	-	-	6	-	2-2	-	-	6
"	19	232.5	6	5	-	-	-	-	-	6
"	20	260.0	6-7	5-6	-	-	-	-	-	10
"	21	272.5	7	-	-	1-2	-	-	-	11
"	22	220.0	7	5	-	2	-	-	-	9
"	23	217.3	6-7	-	5	-	2	-	-	11
"	24	285.0	6-7	5-6	-	2-3	-	-	-	7
"	25	230.0	6	-	5	6	2-2	2	-	7-8
"	26	233.8	7	-	5-6	-	2-2	-	-	6
"	27	130.0	6-7	5	-	1-2	-	-	-	9
"	28	275.0	7	6	-	2	-	-	-	15
"	29	252.5	6-7	5-6	-	2	-	-	-	15
"	30	215.5	6-7	-	-	2	-	-	-	-
"	31	302.5	7	6	-	2-3	-	-	-	20
"	32	228.6	6-7	6	9	-	1-2	-	-	13
"	33	211.4	-	-	7	-	-	-	-	-
"	34	215.2	6	-	6	-	-	-	-	14
"	35	232.1	-	-	7	8	1-2	-	-	-
"	36	225.8	-	-	-	6	-	-	-	-
"	37	225.8	7-8	6-7	-	2	-	-	-	11
"	38	284.0	7-8	7	-	1-2	2	165°	14	-
"	39	244.4	5	6	8-9	1-2	1-2	-	-	15
"	40	270.5	-	-	6	-	1-2	-	-	-
"	41	307.0	5-6	5-6	-	1-2	-	-	-	16
"	42	-	7	-	-	-	-	-	-	-
"	43	-	8	-	8-9	2	-	-	-	18
"	44	-	7	-	-	-	-	-	-	-
"	45	132.5	-	-	7	-	-	2	165°	-
Ractray 1989		62-350	7-8	12	-	-	un anillo	2	-	-
var. <i>kerkgulensis</i>		-	5-7	-	-	-	un anillo	2	-	-
var. <i>giganteus</i>		-	9-12	-	-	-	un anillo	2	-	-
Hustedt 1930		150-360	7	8-9	-	-	un anillo	2	-	-
Copp 1943		160-700	13-14	-	14-15	-	1	2	134°	-
G. wailesii		230-300	6	-	8	-	1	-	-	-
Cleve-Knorr 1951		150-500	4	7	-	-	1	-	-	-
Van der Werffy Huis		150-500	7-8	-	9-10	-	1-2	-	-	-
1957-1974		-	-	-	-	-	-	-	-	-
Boalch 1971		158-240	7-8	-	6-9 un	-	un anillo	2	144°	-

ESTA TESIS DE LA UNIVERSIDAD NACIONAL DE COLOMBIA

Tabla No.7. Datos morfométricos de Coscinodiscus jonesianus (Greville) Ostenfeld, obtenidos en este estudio y en la literatura consultada.

Autor	Localidad	No. ejemplar	Diámetro en μm	Areolas centrales en $10 \mu\text{m}$	Areolas marginales en $10 \mu\text{m}$	Microlabiados en $10 \mu\text{m}$	No. macro-labiados	Macrolabiados ángulo de separación	Estrías en $10 \mu\text{m}$	No. areolas roseta central
	Sur Golfo México	1	121.4	12	12	2	2	153°	46	6
Hustedt 1930 var. <u>commutata</u>			140-280 70-160	5-6 4-5	9 8	1 1	2 2	100-120° 166°	- -	11 5
Cleve-Euler 1951 C. <u>commutatus</u>			70-300	4	5-6	1	2	100-120°	-	5
Van der Werffy Huis 1957-1974 var. <u>commutata</u>			70-160	4-6	± 7	1-2	2	± 120°	-	7

Tabla No.8. Datos morfométricos de Coscinodiscus marginatus Ehrenberg, obtenidos en este estudio y en la literatura consultada.

Autor	Localidad	No. ejemplar	Diametro en μm	Areolas centrales en 10 μm	Areolas marginales en 10 μm	Microlabiados en 10 μm	No. macro-labiados	Macrolabiados ángulo de separación	Estrías en 10 μm	No. areolas roseta central	Areola central areolas rodean
Valle Diatomita	1	78.2	3	4	-	-	-	-	4	-	7
"	2	122.5	2-3	3-4	2	2	160°	-	-	-	-
"	3	82.0	3	3-4	3	2	153°	-	-	-	-
"	4	-	-	3-4	-	-	-	-	-	-	-
"	5	102.0	3	3-4	-	-	-	-	4-5	-	5
"	6	83.3	3	4	2	2	161°	-	-	-	-
"	7	39.2	4-5	4-5	2-3	2	149°	-	-	-	-
"	8	96.0	3	4-6	2-3	2	149°	-	-	-	-
"	9	96.0	3	3-4	-	-	-	-	-	-	5
"	10	112.5	3	3	-	-	-	-	3	-	8
"	11	57.5	3	4	-	-	-	-	-	-	6
"	12	90.0	3	3	-	-	-	-	4-5	-	5
"	13	65.0	4	4-5	-	2	146°	6-7	-	-	-
"	14	47.5	4	4	-	2	145°	4-5	-	-	-
"	15	125.0	3-4	3-4	-	2	158°	4	5	-	-
Rattray 1889		37.5-150	2-2.5	-	-	-	-	-	4	-	-
Hustedt 1930		37.5-200	1-3	2-4	-	-	-	1.5-4	-	-	-
Cupp 1943		36-97	2.5-3	3-4	-	-	-	4-6	-	-	72
Cleve-Euler 1951		37-200	1-3	2-4	-	-	-	-	-	-	-
Sancetta 1987		35-145	1.5-2	2.5-3	2-3	-	-	-	-	-	-

Tabla No.9. Datos morfométricos de Coscinodiscus perforatus var. cellulosa Grunow,
obtenidos en este estudio y en la literatura consultada.

Autor	Localidad	No. ejemplar	Diámetro en μm	Areolas centrales en 10 μm	Areolas marginales en 10 μm	Microlabiados en 10 μm	No.macro- labiados	Macrolabiados ángulo de separación	Estrías en 10 μm	No. areolas roseta central
	Sur Golfo 1	108.0	5	5	-	-	-	-	9	8
	Méjico 2	100.0	5-6	5	-	2	141°	8	8	
"	3	91.3	5-6	5	3	2	-	12	7	
"	4	69.2	6-7	7	4	2	146°	14	7	
"	5	70.8	7-8	7	3	-	-	13	8	
"	6	48.9	8	8-9	-	-	-	-	8	
"	7	73.6	6	6-7	-	2	140°	11	8	
"	8	85.0	8	7	3	2	139°	10	6	
"	9	74.2	7-8	6-7	3	-	-	-	7	
"	10	73.6	6-7	6	2-3	2	-	18	7	
"	11	51.7	7	7	-	-	-	12	6	
"	12	97.5	5-7	6	3	-	-	-	-	
"	13	85.9	5	5	2-3	2	140°	8-10	11	
Valle Diatomita	14	127.5	4-5	4-5	-	-	-	7-8	12	
San Felipe 15		120.0	4-5	6	-	-	-	8-9	8	
San Felipe 16		116.3	5	4-5	-	-	-	7-8	7	
Arroyo Hondo 17		140.0	4	3-4	-	-	-	-	9	
Arroyo Hondo 18		153.3	4	3-4	-	-	-	-	13	
Arroyo Hondo 19		105.0	4-5	4-5	2	-	-	9-11	8	
Arroyo Hondo 20		182.5	3-5	4	3	2	142°	8	9	
Arroyo Hondo 21		137.0	4-5	4-5	2-3	-	-	-	14	
Arroyo Hondo 22		101.4	4	5	2	2	135°	7	8	
Rattray 1889		135-150	3-5	-	2	-	-	-	-	
Hustedt 1930		90-200	3.5-5.5	-	-	-	-	8	13	
Cupp 1943		90-110	4.5	4.5-5	-	-	-	8	5	
Clever-Euler 1951		100-150	2.5-4	-	-	-	-	-	8	
Van der Werffy Huis 1957-1974		90-200	4-5	6-8	-	-	-	-	6	

Tabla No.10. Datos morfométricos de Coscinodiscus perforatus var. pavillardii (Forti) Hustedt,
obtenidos en este estudio y en la literatura consultada.

Autor	Localidad	No. ejemplar	Diámetro en μm	Areolas centrales en $10 \mu\text{m}$	Areolas marginales en $10 \mu\text{m}$	Microla- bilados en $10 \mu\text{m}$	No. macro- labilados	Macrolabilados ángulo de separación	Estrías en $10 \mu\text{m}$	No. areolas roseta central	Areola central areolas rodean
	Sur Golfo México	1	57.9	5	5	-	-	-	10	5	-
	"	2	60.0	5-6	6	2	2	131°	9	7	-
	"	3	71.0	6	6	2	2	133°	9	5	-
	"	4	78.0	5-6	5-6	-	-	-	8-9	5	-
	"	5	54.0	6	6	-	-	-	9	5	-
	"	6	54.0	5-6	5	-	2	138°..	11	5	-
	"	7	90.0	5-6	5	2-3	2	145°	9-10	7	-
	"	8	68.0	5-6	5-6	2	2	140°	8-10	7	-
	"	9	77.0	6	6	-	-	-	9	5	-
	"	10	45.0	5-6	5-6	-	-	-	-	4	-
	"	11	50.0	6	6	-	2	134°	9	5	-
	"	12	48.0	6	6	-	-	-	9	5	-
	"	13	84.0	3-4	4	-	2	138°	6	-	5
	"	14	48.0	6	6	-	2	143°	11	5	-
	"	15	58.0	5-6	5-6	-	-	-	9-10	5	-
	"	16	132.5	6	5	-	-	-	-	7	-
	"	17	43.0	8	8	4	-	-	13	4	-
	"	18	24.3	8	8	3	2	133°	13-14	5	-
	"	19	27.2	8	8	4	2	142°	15	-	7
	"	20	72.0	7	6	3	-	-	9-11	5	-
	"	21	27.5	8	8	4	2	142°	-	4	-
	"	22	23.8	8	8	4	-	-	-	4	-
	"	23	92.0	7-8	6-7	3	2	-	-	7	-
	"	24	93.0	7	6-7	-	-	-	10	5	-
	"	25	73.6	6-7	6-7	-	-	-	-	5	-
	"	26	76.8	7-8	6-7	-	-	-	15	-	-
	"	27	76.7	7-8	6-7	3	-	-	19	7	-
	"	28	50.0	6-7	5-6	2-3	2	145°	10	4	-
	"	29	50.0	6	6	2-3	-	-	14	5	-
	"	30	43.8	6	6	2-3	2	144°	11-13	5	-
	"	31	25.0	6	6	3	-	-	13	5	-
	"	32	52.2	5	5-6	-	2	140°	11-14	5	-
Hustedt 1930			90-200	3.5-5.5	-	-	-	-	-	5-13	-
Cupp 1943			143-270	4.5	4-5	-	2	-	-	5-7	-
Van der Werffy Huis 1957-1974			90-200	±4	±6	-	-	-	-	7	-

Tabla No.11. Datos morfométricos de *Coscinodiscus radiatus Ehrenberg*, obtenidos en este estudio y en la literatura consultada.

Autor	Localidad	No. ejemplar	Diámetro en μ	Areolas centrales en 10 μ	Areolas marginales en 10 μ	Microlas blanda en 10 μ	No. macro-labiodados	Macrolabiodados ángulo de superación	Estrías en 10 μ	No. areolas rotula central	Areola central areolas rodean
	Sur Golfo	1	51.0	6	6	2	2	135°	9-11	-	7
Péñalo		2	54.0	5	5	-	2	135°	-	5	-
"	3	61.0	5	6	-	-	2	140°	10-11	-	6
"	4	52.0	6	6	-	-	2	142°	-	5	-
"	5	57.0	5-6	6	-	-	2	142°	10	-	-
"	6	47.0	5-6	6	-	-	2	142°	8-9	4	-
"	7	40.0	6	6	-	-	2	142°	-	4	-
"	8	31.0	5-6	5-6	-	-	2	135°	6	-	-
"	9	40.0	5	5-6	-	-	2	140°	11	5	-
"	10	31.0	6	6	-	-	2	140°	10	5	-
"	11	53.0	5-6	6	-	-	2	135°	-	6	-
"	12	33.0	5-6	6	-	-	2	132°	11	4	-
"	13	56.0	5	5-6	-	-	2	135°	10	6	-
"	14	29.1	8	8-9	-	-	2	137°	15	5	-
"	15	29.3	8	8	-	-	2	135°	15	5	-
"	16	44.0	7	7	-	-	2	135°	14	5	-
"	17	36.1	7	7	3-4	-	2	137°	14	6	-
"	18	42.5	7	7-8	-	-	2	135°	17-18	5	-
"	19	49.2	7	6-7	-	-	2	135°	13	6	-
"	20	25.4	9-10	10	3-4	-	2	140°	19-22	6	-
"	21	26.7	7-8	8-9	-	-	2	142°	-	6	-
"	22	26.0	7-8	8-9	3	-	2	142°	14-17	5	-
"	23	70.0	7-8	7-8	3	-	-	-	19	-	-
"	24	59.0	9-10	9-10	6	-	2	145°	15-16	4	-
"	25	23.7	6	6-7	3	-	2	142°	10	-	-
"	26	20.0	7	7	-	-	2	135°	-	5	-
"	27	34.0	6	6-7	-	-	-	-	12	7	-
"	28	69.0	5-6	5-6	-	-	-	-	-	4	-
"	29	55.1	5-6	5	3	2	2	137°	11	5	-
"	30	27.5	6	6-7	2	2	2	135°	-	7	-
"	31	66.3	5	5-6	2	2	2	135°	12	6	-
"	32	21.1	6	6	2	2	2	135°	11-12	6	-
"	33	55.0	6	5-6	1	2	2	140°	12	6	-
"	34	56.3	4	4	2	2	2	142°	9-10	6	-
"	35	25.6	5	5	2	2	2	140°	9-10	5	-
"	36	25.6	6-7	6-7	3	2	2	130°	11	5	-
"	37	47.8	4-5	5	2	2	2	135°	-	5	-
"	38	21.5	5	5	2	2	2	135°	7-8	5	-
"	39	84.0	6	7	-	-	-	-	-	6	-
Valle Diamante	40	33.0	6-7	6-7	-	-	2	137°	16	5	-
Valle Diamante	41	35.0	5-7	6-7	-	-	2	135°	14	5	-
Valle Diamante	42	81.1	5-6	5	-	-	-	-	9	-	-
Valle Diamante	43	47.5	8	8	-	-	-	-	11	5	-
Arroyo Hunco	44	24.1	5-6	5	-	-	-	-	-	5	-
Arroyo Hunco	45	25.6	7	7	3	-	-	-	-	5	-
Arroyo Hunco	46	70.0	4-5	5	-	-	-	-	-	5	-
Hattray 1959		67.5-110	2-2.5	6	-	-	-	-	-	-	-
Bütsch 1930		30-160	2-6	4-9	-	-	-	-	14	2	-
Cole 1964		35-150	1-6	4-7	-	-	-	-	11	6	-
Cleve-Füller 1951		60-115	2-2.5	5-6	-	-	-	-	-	7	-
Van der Werff y Rula 1959		30-150	2-4	4-9	-	-	-	-	8	5-14	-
Heide y Siles 1964 b		40-90	4-6	4-8	3-4	2	135°	-	-	6-8	6
Sancetta 1987		13-100	3-5	6-8	3	2	-	-	-	5-9	-
Fryxell y Ashworth 1958		26-110	4-5	3-2	1-2	2	120-135°	-	-	6-8	7

Tabla No.12. Datos morfométricos de Coscinodiscus rothii (Ehrenberg) Grunow, obtenidos en este estudio y en la literatura consultada.

Autor	Localidad	No. ejemplar	Diámetro en μm	Areolas centrales en $10 \mu\text{m}$	Areolas marginales en $10 \mu\text{m}$	Microlabiados en $10 \mu\text{m}$	No. macro-labiados	Macrolabiados ángulo de separación	Estrías en $10 \mu\text{m}$	No. areolas rosata central	Areola central areolas rodean
Sur Golfo Méjico		1	49.2	7	7	-	-	-	11	5	-
		2	48.0	7	7	-	-	-	11	-	9
		3	60.0	7	7	-	-	-	11	-	7
		4	83.3	7	7	-	-	-	12	5	-
		5	39.6	7	7	-	-	-	11	-	6
		6	55.8	7	7	-	-	-	12	-	-
		7	90.9	6	6	-	-	-	11	4	-
		8	56.0	6-7	7	-	10	30-45°	12	3	-
		9	34.2	11	9-10	-	8	-	17	3	-
		10	48.8	7	6	-	9	-	12	4	-
		11	52.3	7	7-8	5	9	-	11	-	-
Rattray 1889			70-175	6-8	-	-	-	-	14	-	-
Hustedt 1930			40-175	6-8	13	-	-	-	-	5	-
Var. <u>subsalis</u>			25-40	10	± 10	-	-	-	-	-	6
Cleve-Euler 1951			40-120	8-9	13	-	-	-	-	-	8
<u>C. subsalsus</u>			24-45	10	12	-	-	-	-	4	-
Kim y Barron 1986			38.6	9	9-10	-	-	28-31°	11-14	4	-

FIGURAS

CC=Campo claro.

CF=Contraste de fase.

MEB=Microscopía electronica de barrido.

MET=Microscopía electronica de transmision.

Clave de ejemplar a la izquierda del tazon.

5. *Coscinodiscus alboranii* -C-72-02-E48/3-340x.
Escala=10 μ m. CF. Flechas pequeñas=procesos
microlabiados, flechas grandes=procesos macrolabiados,
cabezas de flechareolas endoquísticas. Destacan
hileras hialinas sinuosas inician posición excentrica
área central, roseta central poco evidente, hileras
radiales areolas.
6. *C. alboranii* -C-71-04-E48/90-3,640x. Escala=1 μ m. MET.
Cabezas de flechareolas con cribela interna. Se
observan filamentos siliceos que surgen del centro
valvar hacia la periferia. Resaltan areolas pequeñas
entre las más grandes, hileras radiales primarias y
secundarias areolas.
7. *C. alboranii* -C-71-04-E48/90-2,910x. Escala=1 μ m. MET.
Flechas=procesos microlabiados, cabezas de
flecha=areolas endoquísticas, triangulos=proyecciones
siliceas semejan estrías. Resaltan hileras radiales
areolas.
8. *Coscinodiscus asteromphalus* -0GI-E23-1-R14/24-500x.
Escala =10 μ m. CF. Destaca contorno valvar, roseta
central e hileras radiales.
9. *C. asteromphalus* -0GI-E23-1-R14/26-1,250x. Escala=10 μ m.
CF. Flechas=proceso macrolabiado, muesca terminal.
10. *C. asteromphalus* -0GI-E47-6-R4/15PI-1,250x. Escala=10 μ m.
CC. Flechas pequeñas=procesos microlabiados, flechas
grandes=procesos macrolabiados. Resalta contorno valvar
y estrías terminales.
11. *C. asteromphalus*-0GV-E40-50m-a/2159-720x. Escala=10 μ m.
MEB. Vista valvar interna. Valva convexa, manto valvar
e hileras radiales areolas.
12. *C. asteromphalus*-0GV-E40-50m-a/2135-1,800x. Escala=10 μ m.
MEB. Flechas=procesos microlabiados excentricos.
Sobresale roseta central, hileras radiales primarias y
secundarias areolas.
13. *C. asteromphalus*-0GV-E40-50m-b/2173-10,000x. Escala=1 μ m.
MEB. Flecha=proceso microlabiado excentrico apice
ancho, base delgada, foramina interna y marcas base
paredes loculares.

14. *C. asteromphalus*-OGV-E40-50m-b/2180-9,400x. Escala=1 μ m.
MEB. Flecha pequeñas=proceso microlabiado, destaca ápice ancho y base delgada, flecha grandes=proceso macrolabiado, ápice ancho dos lóbulos opuestos. Ambos procesos en manto valvar base delgada. Foramina interna, en algunas pared locular.
15. *C. asteromphalus*-OGV-E40-50m-s/2157-3,600x. Escala=10 μ m.
MEB. Flecha pequeñas=proceso microlabiado, flechas grandes=procesos macrolabiodos.
16. *C. asteromphalus* -VD-7-6-R20/11-1,250x. Escala=5 μ m.
CC. Roseta central con cinco areolas. Vela externa entre areolas.
17. *C. asteromphalus* -C-71-18-E30B/320-1,600x. Escala=10 μ m.
MEB. Vista valvar externa, flechas=abertura externe procesos microlabiodos. Destaca contorno y convexidad valvar.
18. *C. asteromphalus* -C-71-18-E30B/321-14,000x. Escala=1 μ m.
MEB. Vela externa, cada criba con cribela.
19. *C. centralis* -C-71-18-E26/258-400x. Escala=10 μ m. CF.
Flechas Pequeñas=procesos microlabiodos, flechas grandes=procesos macrolabiodos. Destaca roseta central cuatro areolas, entre ella zona brillante denota indirectamente protuberancias silíceas.
20. *C. centralis* -C-71-18-E26/257-400x. Escala=10 μ m. CF.
flechas pequeñas=procesos microlabiodos, cabeza de flecha=zona brillante indicando protuberancias silíceas.
21. *C. centralis* -C-71-u-1-E49A/1169-780x. Escala=10 μ m.
MEB. Vista valvar interna, flechas pequeñas=procesos microlabiodos, flechas grandes=procesos macrolabiodos. Hileras radiales areolas.
22. *C. centralis* -C-71-04-E49A/1171-3,600x. Escala=1 μ m.
MEB. Flechas=protuberancias silíceas centrales.
23. *C. centralis* -C-71-04-E49A/1175-9,400x. Escala=1 μ m.
MEB. Flechas=protuberancia silíceas, base ensanchada ápice bulboso delgado. Resalta abultamientos foramina interna.
24. *C. centralis* -C-71-04-E49A/1171-3,400x. Escala=1 μ m.
MEB. Flechas pequeñas=procesos microlabiodos abertura ápice, flecha grande=proceso macrolabiado ápice ancho dos lobulaciones opuestas, abertura ondulada entre dos labios, base ligeramente delgada. Ambos procesos en el manto.

25. *C. centralis* -C-71-18-E24A/377-9,000x. Escala=1 μm . MEB. Flechas=protuberancias siliceas.
26. *C. centralis* -C-71-18-E24A/378-9,000x. Escala=1 μm . MEB. Flechas pequeñas=procesos microlabiados, flecha grande=proceso macrolabiado con cuello delgado.
27. *Coccinodiscus concinnus* -C-72-12-E30B/280-300x. Escala=100 μm . CF. Flechas pequeñas=procesos microlabiados, flechas grandes=procesos macrolabiados.
28. *C. concinnus* -C-72-12-E30B/281-1000x. Escala=10 μm . CF. Cabeza de flecha=poro central. Hileras radiales primarias y secundarias areolas.
29. *C. concinnus* -0GI-E16-1-R11/35-500x. Escala=10 μm . CF. Flechas pequeñas=procesos microlabiados, flecha grande=proceso macrolabiado.
30. *C. concinnus* -0GI-E25-2-R16/4-125x. Escala=100 μm . CF. Resalta manto valvar amplio y roto.
31. *C. concinnus* -0GI-E68-6-R23/18-1,250x. Escala=10 μm . CF. Roseta central 17 areolas.
32. *C. concinnus* -0GI-E79-6-R24/25-1,250x. Escala=10 μm . CF. Roseta central, granulaciones área central. hileras radiales primarias y secundarias.
33. *C. concinnus* -0GI-E79-6-R24/25-1,250x. Escala=10 μm . CF. Zona marginal. Detacan dos aberturas externas procesos microlabiados puntos brillantes.
34. *C. concinnus* -0GI-E25-2-R16/8-500x. Escala=10 μm . CF. Manto valvar. Flechas pequeñas=procesos microlabiados, flecha grande=proceso macrolabiado.
35. *C. concinnus* -0GI-E44-1-R19/23-500x. Escala=10 μm . CF. Flechas pequeñas=procesos microlabiados, flecha grande=proceso macrolabiado. Resalta anillo procesos microlabiados excentricos.
36. *C. concinnus* -0GI-E102-5/1710-3200x. Escala=100 μm . MEB. Vista valvar interna. Flecha=proceso macrolabiado. Valva convexa.
37. *C. concinnus* -0GI-E102-7/1781-4,000x. Escala=1 μm . MEB. Flechas incompletas=líneas hialinas de sutura base paredes loculares, flecha completa=área central. Resalta areola central nueva areolas. Foramina interna, vela externa.
38. *C. concinnus* -0GVIII-E34-L1/2350-1,300x. Escala=10 μm .

- MEB. Flechas=proceso microlabiado.
39. *C. concinnus* -0-71-04-E30B/377-25,000x. Escala=1 μm .
MET. Foramina interna con Vela externa y cribela.
40. *C. concinnus* -06I-E102-5/1731-13,000x. Escala=1 μm .
MEB. Flechas=procesos microlabiados entre límite marge
manto. Foramina interna vela externa y cribela.
41. *C. concinnus* -06I-E102-5/1716-3,400x. Escala=1 μm . MEB.
Flechas pequeñas=procesos microlabiados, flecha
grandes=proceso macrolabiado ápice dos lobulos opuestos,
abertura labios.
42. *C. concinnus* -06VIII-E34-L1/2356-3,200x. Escala=10 μm .
MEB. Flechas pequeñas=procesos microlabiados, flecha
grandes=proceso macrolabiado ápice dos lobulos, abertura
labios espiralizada.
43. *C. concinnus* -06I-E102-6/1757-16,000x. Escala=1 μm .
MEB. Proceso macrolabiado lobulos incompletos, abertura
espiral labios.
44. *C. concinnus* -06VIII-E34-E1/2340-220x. Escala=100 μm .
MEB. Frústulo. Flechas pequeñas=abertura externa
procesos microlabiados, flecha grandes=abertura externa
proceso macrolabiado. Cabeza flecha superior=manto,
cabeza flecha inferior=valvocopula.
45. *C. concinnus* -06I-E90-b/1897-2,600x. Escala=10 μm . MEB.
Vista valvar externa. Cabezas flecha grandes=areolas
roseta central, cabeza flecha chicas=área central.
46. *C. concinnus* -06I-E102-6/1766-2,600x. Escala=10 μm .
MEB. Flechas=abertura externa procesos microlabiados
excéntricos.
47. *C. concinnus* -06I-E47-47c/2109-2,600x. Escala=10 μm .
MEB. Flechas=izquierda=abertura externa procesos
microlabiados, flechas derechas=procesos microlabiados.
48. *C. concinnus* -06VIII-E34-E3/2399-2,400x. Escala=10 μm .
MEB. Flechas=abertura externa procesos microlabiados,
cabezas flecha chicas=filamentos de sutura, cabeza
flecha mediana=base manto, cabeza flecha grande=areolas
manto.
49. *C. concinnus* -06I-E102-7/1787-15,000x. Escala=1 μm .
MEB. Abertura externa proceso microlabiado manto.
50. *C. concinnus* -06VIII-E34-E3/2397-1,500x. Escala=10 μm .
MEB. Abertura externa proceso macrolabiado manto.
51. *C. concinnus* -06VIII-E34-E1/2334-300x. Escala=100 μm .

- MEB. Cabeza flecha chica=pleura, cabeza mediana=copula, flecha=ligula, cabeza flecha grande=valvocopula, triangulomanto.
52. *C. jonesianus* -C-71-18-E39B/397-700x. Escala=10 μm . MEB. Flechas pequeñas=abertura externa procesos microlabiados, flechas grandes=abertura externa procesos macrolabiados. Valva convexa.
53. *C. jonesianus* -C-71-18-E39B/398-7,000x. Escala=1 μm . MEB. Flechas=poros valva.
54. *C. jonesianus* -C-71-18-E39B/399-7,000x. Escala=1 μm . MEB. Flecha pequeña=abertura externa proceso microlabiado, flecha grande=abertura externa proceso macrolabiado.
55. *Coscinodiscus marginatus* -VD-2A/1920-860x. Escala=10 μm . Vista valvar externa. Hileras radiales primarias y secundarias areolas.
56. *C. marginatus* -VD-2A/1599-1,300x. Escala=10 μm . MEB. Flechas pequeñas=procesos microlabiados, flechas grandes=procesos macrolabiados.
57. *C. marginatus* -VD-2A/1919-1,800x. Escala=10 μm . MEB. Areolas manto remanentes valva.
58. *C. marginatus* -AH-15-1/1594-4,400x. Escala=1 μm . MEB. Cabezas flecha=filamentos sutura criba.
59. *C. marginatus* -AH-15-1/1601-4,800x. Escala=1 μm . MEB. Flechas pequeñas=procesos microlabiados, flecha grande=proceso macrolabiado abertura espiral labios.
60. *Coscinodiscus perforatus* var. *cellulosa* -C-71-18-30B/399-400x. Escala=10 μm . CF. Hileras radiales areolas.
61. *C. perforatus* var. *cellulosa* -C-71-18-E36/400-400x. Escala=10 μm . CF. Flechas=procesos macrolabiados.
62. *Coscinodiscus perforatus* var. *pavillardii* -OG1-E47-6-R 4/42PI-1,250x. Escala=10 μm . CC. Flechas pequeñas=procesos microlabiados, flechas grandes=muescas procesos macrolabiados. Hileras radiales areolas y forma paredes loculares.
63. *C. perforatus* var. *pavillardii* -OG1-E48-1-R19/41-1,250x. Escala=10 μm . CC. Flechas=muescas procesos macrolabiados. Destacan hileras radiales areolas
64. *C. perforatus* var. *pavillardii* -OG1-E48-1-R19/42-

- 1,250x. Escala=10 μ m. CF. Flechas pequeñas=procesos microlabiados excentrífugos. Flechas grandes=muescas procesos macrolabiados.
65. *C. perforatus* var. *Pavillardi* -OGI-E21-1-R14/11-1,250x. Escala=10 μ m. CF. Flechas=muescas procesos macrolabiados.
66. *C. perforatus* var. *Pavillardi* -OGI-E35-1-R17/21-1,250x. Escala=10 μ m. CF. Flecha pequeña=poro central, flechas grandes=muescas procesos macrolabiados.
67. *C. perforatus* var. *Pavillardi* -OGI-E35-1-R17/24-1,250x. Escala=10 μ m. CC. Flechas=muescas procesos macrolabiados. Resalta areola central, hileras radiales de areolas.
68. *C. perforatus* var. *Pavillardi* -OGI-E40-1-R19/1-500x. Escala=10 μ m. CF. Flechas=muescas procesos macrolabiados. Areola central rodean nueve areolas.
69. *Coscinodiscus radiatus* -OGI-E18-1-R13/19-1,250x. Escala=10 μ m. Hileras radiales areolas. Areola central rodean siete areolas.
70. *C. radiatus* -OGI-E25-2-R16/18-1,250x. Escala=10 μ m. CC. Flechas=muescas procesos macrolabiados. Roseta central cuatro areolas más dos lineales.
71. *C. radiatus* -OGI-E21-1-R14/4-1,250x. Escala=10 μ m. CF. Areola central seis areolas rodean.
72. *C. radiatus* -VD-2-5-R31/0-1,250x. Escala=10 μ m. CF. Flechas pequeñas=procesos microlabiados excentrífugos. Flechas grandes=procesos macrolabiados. Roseta central cuatro areolas más dos lineales.
73. *Coscinodiscus perforatus* var. *cellulosa* -C-71-04-E49A/1191-780x. Escala=10 μ m. MEB. Vista valvar interna. Flechas pequeñas externas=procesos microlabiados manto, flechas internas=procesos microlabiados excentrífugos, flechas grandes=procesos macrolabiados. Hileras radiales areolas.
74. *C. perforatus* var. *cellulosa* -C-71-04-E49A/1192-780x. MEB. Escala=10 μ m. Flechas pequeñas=procesos microlabiados manto. Valva ligeramente convexa.
75. *C. perforatus* var. *cellulosa* -C-71-04-E49A/1193-4,400x. Escala=1 μ m. MEB. Flechas=proceso microlabiado excentrífugo.
76. *C. perforatus* var. *cellulosa* -C-71-04-E49A/1195-11,000x.

- Escala=1 μ m. MEB. Flechas=abertura circular externa proceso macrolabiado, cabezas flecha chicas=filamentos sutura vela-anillo circular siliceo, cabeza flecha mediana=vela manto, cabeza flecha grande=foramina submarginal.
77. *C. perforatus* var. *cellulosa* -C-71-04-E49A/1194-
12,000x. Escala=1 μ m. MEB. Flechas=proceso microlabiado excentrico.
78. *C. perforatus* var. *cellulosa* -C-71-04-E49A/1195-7,800x.
Escala=1 μ m. MEB. Flechas=procesos microlabiados manto, cabeza flecha chica=limite marginamento, cabeza flecha grande=foramen terminal.
79. *C. perforatus* var. *cellulosa* -AH-16E/2312-720x.
Escala=10 μ m. MEB. Flechas=muesca abertura externa proceso macrolabiado. Hileras radiales areolas.
80. *C. perforatus* var. *cellulosa* -AH-16E/2317-3,200x.
Escala=1 μ m. MEB. Flechas=abertura externa proceso microlabiado excentrico, cabezas flecha=filamentos sutura criba.
81. *C. perforatus* var. *cellulosa* -AH-16E/2313-4,800x.
Escala=1 μ m. MEB. Flechas=abertura externa procesos microlabiados excentricos, cabeza flecha chica=poro subexcentrico, cabeza flecha grande=área central.
82. *C. perforatus* var. *cellulosa* -AH-16E/2301-4,400x.
Escala=1 μ m. MEB. Vista valva externa. Flecha chica=abertura externa proceso microlabiado manto, flecha grande=abertura externa proceso macrolabiado manto. Vela externa. filamentos de sutura vela-anillo circular siliceo.
83. *Coscinodiscus perforatus* var. *pavillardii* -C-71-04-E49B/1093-1,300x. Escala=10 μ m. MEB. Flechas pequeñas=externas=procesos microlabiados manto, flechas internas=procesos microlabiados excentricos, flechas grandes=procesos macrolabiados. Hileras radiales areolas.
84. *C. perforatus* var. *Pavillardii* -C-71-04-E49B/1094-
7,200x. Escala=1 μ m. MEB. Cabeza flecha chica=pared locular pentagonal, cabeza flecha mediana=pared locular hexagonal, cabeza flecha grande=pared locular heptagonal. Foramina excentrica, roseta central 5 lóculos, vela externa entre foramina.
85. *C. perforatus* var. *Pavillardii* -C-71-04-E49B/1087-
1,300x. Escala=10 μ m. MEB. Flecha=abertura externa proceso macrolabiado. Valva ligeramente convexa.

86. *C. perforatus* var. *pavillardii* -C-71-04-E49B/1089-
18,000x. Escala=1 μ m. MEB. Flechas=proceso microlabiado
excéntrico.
87. *C. perforatus* var. *pavillardii* -C-71-04-E49B/1090-
8,600x. Escala=1 μ m. MEB. Flechas internas=procesos
microlabiados manto, cabezas flecha=marcas paredes
loculares anillo silíceo circular. flechas
triangulares=marcas filamentos sutura.
88. *C. perforatus* var. *pavillardii* -C-71-04-E49B/1092-
13,000x. Escala=1 μ m. Flecha grande externa=abertura
externa circular proceso macrolabiado, flecha
negra=proceso macrolabiado, flechas
triangulares=filamentos sutura manto-anillo silíceo
circular, cabezas flecha=paredes loculares.
89. *C. perforatus* var. *pavillardii* -C-71-04-E49B/1091-
13,000x. Escala=1 μ m. MEB. Flecha pequeña=proceso
microlabiado manto, flecha grande=proceso macrolabiado
manto, flechas triangulares=marcas filamentos sutura,
cabezas flecha=marca paredes loculares.
90. *C. perforatus* var. *pavillardii* -C-71-04-E49A/1210-
1,300x. Escala=10 μ m. MEB. Vista valvar externa.
Flechas terminales=abertura externa procesos
microlabiados manto, flechas submarginales=abertura
externa procesos microlabiados excéntricos.
91. *C. perforatus* var. *pavillardii* -C-71-04-E49A/1207-
1,300x. Escala=10 μ m. MEB. Valva cóncava. Sobresale
vela externa.
92. *C. perforatus* var. *pavillardii* -C-71-04-E49A/1208-
10,000x. Escala=1 μ m. MEB. Vela externa, roseta central
5 areolas.
93. *C. perforatus* var. *pavillardii* -C-71-04-E49A/1209-
6,000x. Escala=1 μ m. MEB. Flechas pequeñas=abertura
externa procesos microlabiados manto, flechas
grandes=abertura externa procesos macrolabiados, cabeza
flecha chica=cópula, cabeza flecha grande=valvocópula.
94. *C. perforatus* var. *pavillardii* -C-71-04-E49B/1085-
10,000x. Escala=1 μ m. MEB. Margen valvar-manto valvar,
vela externa.
95. *C. perforatus* var. *pavillardii* -C-71-04-E49B/1086-
7,200x. Escala=1 μ m. MEB. Flechas=abertura externa
procesos microlabiados excéntricos.
96. *Coscinodiscus radiatus* -C-71-04-E48/31A-3,000x.

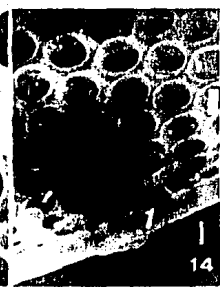
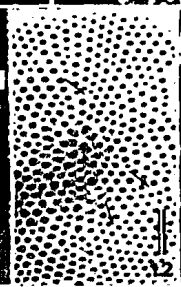
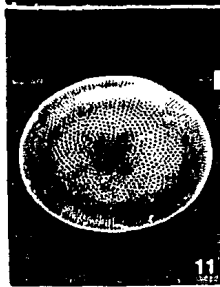
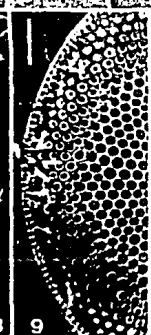
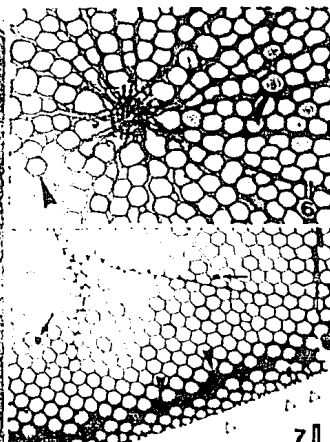
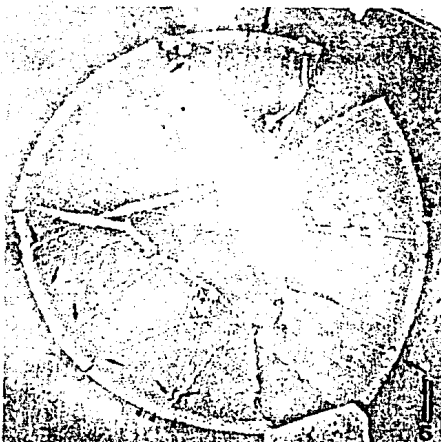
- Escala=10 μ m. MEB. Flechas pequeñas=procesos microlabiados, flechas grandes=procesos macrolabiados. Hileras radiales areolas.
- 97. *C. radiatus* -C-71-04-E48/29A-10,000x. Escala=1 μ m. Roseta central 6 areolas. Foramina excéntrica.
 - 98. *C. radiatus* -C-71-04-E48/32A-9,000x. Escala=1 μ m. MEB. Flecha=proceso macrolabiado.
 - 99. *C. radiatus* -0GI-E102-5/1719-1,300x. Escala=10 μ m. MEB. Flechas=procesos microlabiados excentricos.
 - 100. *C. radiatus* -0GI-E102-5/1721-5,400x. Escala=1 μ m. MEB. Roseta central 4 areolas mas dos lineales. Foramina excéntrica.
 - 101. *C. radiatus* -0GI-E102-5/1720-5,400x. Escala=1 μ m. MEB. Flechas pequeñas=procesos microlabiados manto, flecha grande=proceso macrolabiado.
 - 102. *C. radiatus* -0GI-E36-2/1695-3,200x. Escala=1 μ m. MEB. Flechas pequeñas=procesos microlabiados, flechas grandes= procesos macrolabiados, cabezas de flecha=roseta central.
 - 103. *C. radiatus* -0GI-E36-2/1698-3,200x. Escala=1 μ m. MEB. Flechas pequeñas=procesos microlabiados, flechas grandes=procesos macrolabiados. Valva ligeramente cóncava.
 - 104. *C. radiatus* -0GI-E36-2/1699-3,600x. Escala=1 μ m. MEB. Flecha pequeña=proceso microlabiado, flecha grande=proceso macrolabiado, triángulos=marcas de las paredes loculares.
 - 105. *C. radiatus* -C-71-04-E49B/1110-2,400x. Escala=1 μ m. MEB. Flechas pequeñas=procesos microlabiados excentricos, flechas grandes=procesos macrolabiados, cabezas de flecha foramina excéntrica, roseta central 6 areolas.
 - 106. *C. radiatus* -C-71-04-E49B/1112-12,000x. Escala=1 μ m. MEB. Flecha pequeña=proceso microlabiado manto, flecha grande=proceso macrolabiado, cabeza flecha=limite margen-manto.
 - 107. *C. radiatus* -C-71-04-E49B/1111-13,000x. Escala=1 μ m. MEB. Flecha=proceso microlabiado excéntrico.
 - 108. *C. radiatus* -C-71-04-E49B/1002-15,000x. Escala=1 μ m. MEB. Flecha=abertura externa proceso microlabiado excéntrico, cabezas flecha=filamentos sutura criba.

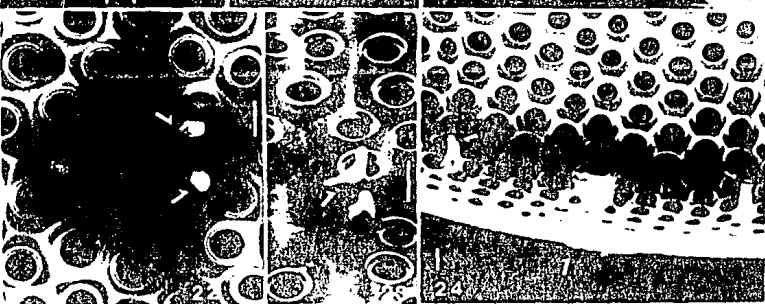
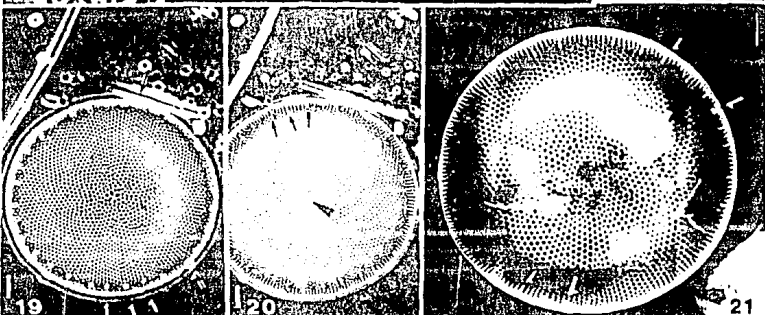
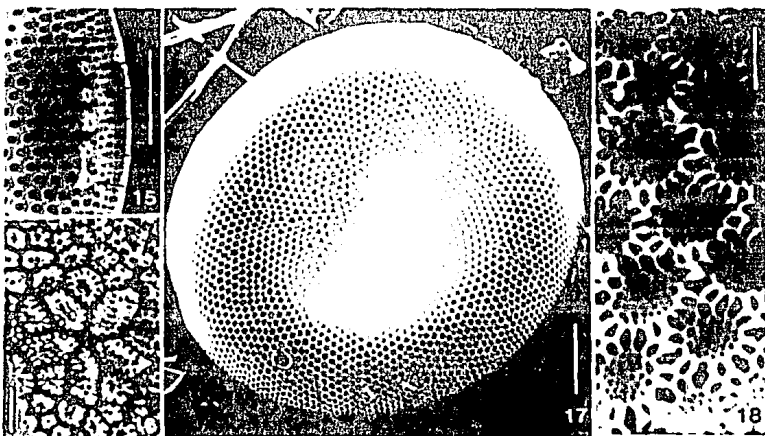
109. *C. radiatus* -C-71-04-E30B/1000-2,000x. Escala=10 μ m. MEB. Flechas=procesos microlabiados. Valva ligeramente concava.
110. *C. radiatus* -C-71-04-E30B/1001-15,000x. Escala=1 μ m. MEB. Cabezas flecha+roseta central.
111. *C. radiatus* -AH-16E/2323-1,000x. Escala=10 μ m. MEB. Vista externa. Hilera radiales areolas.
112. *C. radiatus* -AH-16E/2324-6,600x. Escala=1 μ m. MEB. Cabezas flecha=5 areolas rodean treola central.
113. *C. radiatus* -AH-16-12/1817-2,600x. Escala=10 μ m. MEB. Flechas=muescas abertura externa procesos macrolabiados.
114. *C. radiatus* -AH-16-12/1811-2,600x. Escala=10 μ m. MEB. Cabeza flecha=cíngulo.
115. *C. radiatus* -AH-16-12/1818-4,800x. Escala=1 μ m. MEB. Flechas pequeñas=procesos microlabiados, flechas grandes=muescas abertura externa procesos macrolabiados.
116. *C. radiatus* -AH-16-12/1815-11,000x. Escala=1 μ m. MEB. Flechas=abertura externa procesos microlabiados manto, cabezas flecha Pequeñas=pleura, cabeza flecha mediana=cópula, cabeza flecha grande=valvocópula.
117. *C. radiatus* -AH-16-12/1810-7,800x. Escala=1 μ m. MEB. Flecha=abertura externa proceso microlabiado manto, cabezas flecha pequeñas=filamentos sutura criba, cabeza flecha grande=areolas pequeñas valvocópula.
118. *Coscinodiscus perforatus* var. *cellulosa* -C-72-02-E48/476-1,800x. Escala=10 μ m. MEB. Hilera radiales primarias y secundarias areolas.
119. *C. perforatus* var. *cellulosa* -C-72-02-E48/476-1,800x. Escala=10 μ m. Valva girada 232° de triángulo a flecha grande. El paquete de areolas esquematizadas de la Figura 118 va de triángulo a flecha pequeña.
120. *C. radiatus* -C-71-04-E49B/77-3,000x. Escala=10 μ m. MEB. Hilera radiales primarias y secundarias areolas.
121. *C. radiatus* -C-71-04-E49B/77-3,000x. Escala=10 μ m. Valva girada 244° de triángulo a flecha grande. El paquete de areolas esquematizadas de la Figura 120 va de triángulo a flecha pequeña.
122. *Coscinodiscus rothii* -081-E47-6-R4/7-1,250x. Escala=10 μ m. CC. Areolas centrales.

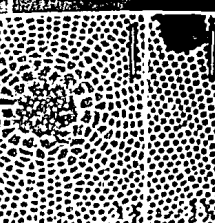
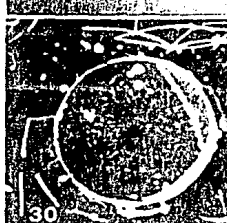
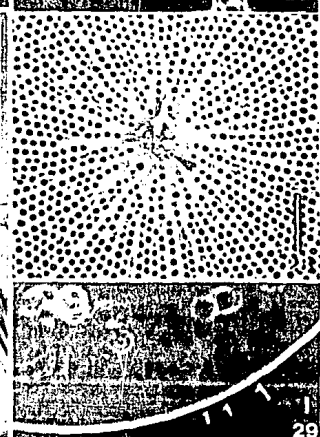
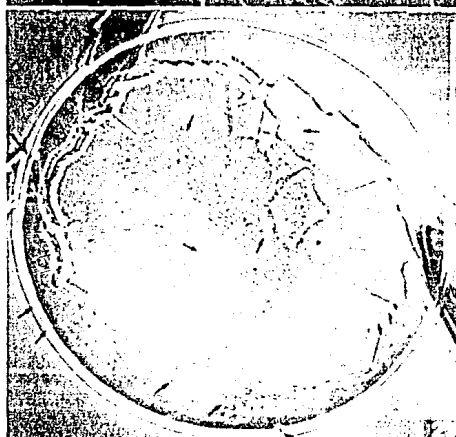
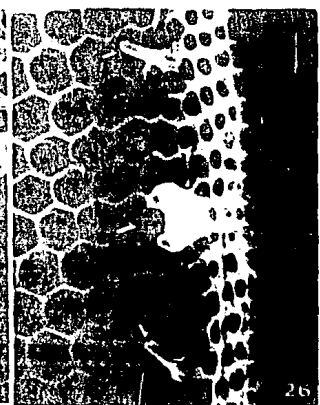
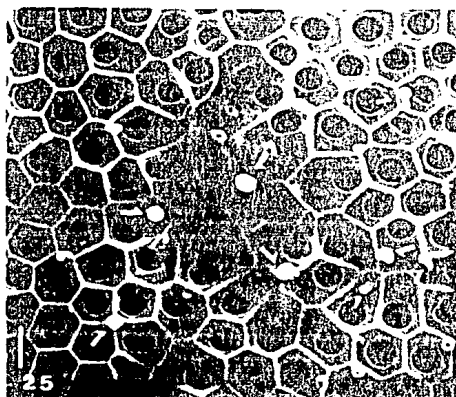
123. *C. rothii* -OGI-E47-6-R4/9-1,250x. Escala=10 μ m. CC.
Areolas excentricas.
124. *C. rothii* -OGI-E47-6-R4/10-1,250x. Escala=10 μ m. CC.
Flechas=procesos macrolabiados.
125. *C. rothii* -C-71-04-E49A/1213-1,300x. Escala=10 μ m. MEB.
Flechas=abertura externa procesos macrolabiados. cabeza
de flecha=parte del cingulo. Hileras fasciculares
areolas. Valva convexa.
126. *C. rothii* -C-71-04-E49A/1214-3,000x. Escala=10 μ m. MEB.
Flecha=abertura externa proceso macrolabiado. cabeza
flecha pequena=doblez delgado manto, cabeza flecha
grande=porcion amplia manto.
127. *C. rothii* -C-71-18-E39B/402-2,400x. Escala=10 μ m. MEB.
Flechas=abertura externa procesos macrolabiados. Valva
convexa.
128. *C. rothii* -C-71-04-E30B/990-1,500x. Escala=10 μ m. MEB.
Flechas=abertura externa procesos microlabiados. Valva
cónica.
129. *Actinocyclus aff. subtilis* -Ch-9/2219-1,100x. MEB.
Escala=10 μ m. Flechas=rimoportulae (procesos
macrolabiados).
130. *Actinocyclus aff. subtilis* -Ch-9/2217-4,000x. MEB.
Escala=1 μ m. Flechas grandes=rimoportulae, flecha
pequeña=pseudonódulo.
131. *Actinoptychus senarius* -AH-16-12/1804-2,600x. MEB.
Escala=10 μ m. Flecha=abertura externa rimoportula.
132. *Actinoptychus vulgaris* -VI-2-d/1983-2,000x. MEB.
Escala=10 μ m. Flechas=rimoportulae.
133. *Asteromphalus* sp. -EN-010-E1/1258-1,500x. Escala=10 μ m.
MEB. Flecha=rimoportula.
134. *Asteromphalus* sp. -EN-010-E1/1259-11,000x. MEB.
Escala=1 μ m. Flecha=rimoportula.
135. *Hemidiscus* sp. -OGI-16-c/2382-160x. MEB.
Escala=100 μ m. Valva completa, vista interna.
136. *Hemidiscus* sp. -OGI-16-c/2381-3,000x. Escala=10 μ m.
MEB. Flechas=rimoportulae.
137. *Azpeitia nodulifera* -OGI-90-b/1892-2,000x. Escala=10 μ m.
MEB. Flecha central=Abertura externa proceso

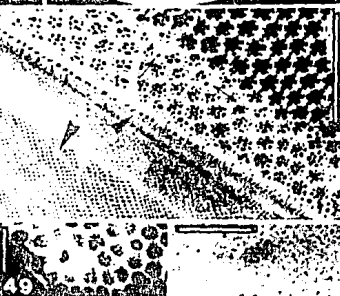
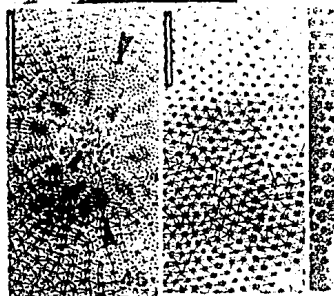
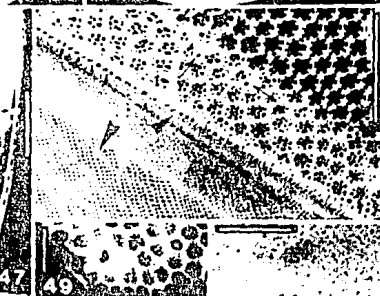
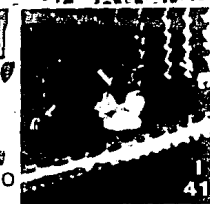
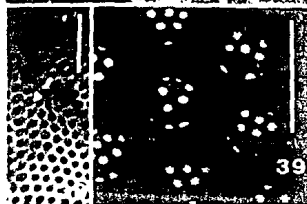
macrolabiado central, flecha marginal=srea silicea
Proceso macrolabiado terminal.

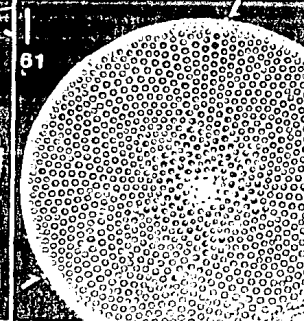
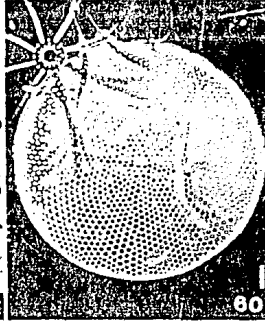
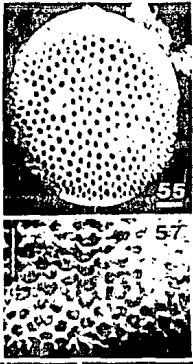
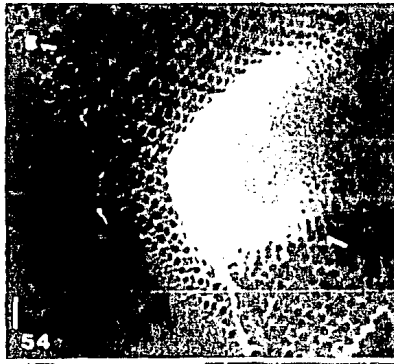
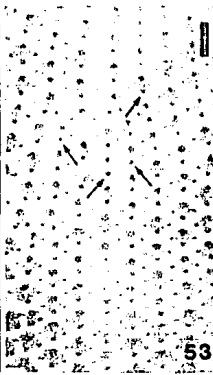
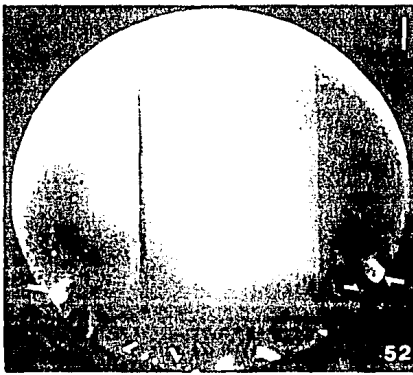
138. *A. nodulifera* -OGI-90-a/1887-3,000x. Escala=10 μ m.
MEB. Flecha central=proceso macrolabiado central,
flecha marginal=Proceso macrolabiado marginal.
139. *A. nodulifera* -AH-16-10/1740-1,200x. Escala=10 μ m. MEB.
Flecha=abertura externa proceso macrolabiado
central.
140. *A. nodulifera* -AH-16-10/1744-7,800x. Escala=1 μ m. MEB.
Cabeza flecha=membrana criba.
141. *Planktoniella sol* -EN-010-E1/659-2,200x. Escala=10 μ m.
MEB. Flechas grandes=abertura externa procesos
labiados, flechas pequeñas=abertura externa procesos
soporte.
142. *Psammodiscus nitidus* -C71-04-E49B/1136-1,800x. MEB.
Escala=10 μ m. Valva completa, vista valvar interna.
143. *Roperia tessellata* -OGI-E36-2/1691-3,600x. Escala=10 μ m.
MEB. Flecha grande=rimoportula, flecha
pequeña=pseudonódulo.
144. *R. tessellata* -OGI-E36-2/1692-6,600x. Escala=1 μ m.
MEB. Flecha grande=rimoportula, flecha
pequeña=pseudonódulo entre dos rimoportulae.
145. *Stellarima stellaris* -C-71-18-E41/409-2,200x. MEB.
Escala=10 μ m. Flechas=rimoportulae.
146. *S. stellaris* -C-71-18-E41/410-10,000x. Escala=1 μ m.
MEB. Manto valvar sin rimoportulae.
147. *S. stellaris* -C-71-18-E41/412-10,000x. Escala=1 μ m.
MEB. Cinco rimoportulae centrales.
148. *S. stellaris* -AH-16-H/2290-940x. Escala=10 μ m. MEB.
Flecha grande=abertura externa rimoportula
central,
149. *S. stellaris* -AH-16-H/2292-2,200x. Escala=10 μ m. MEB.
Flecha grande=abertura externa rimoportula central,
flecha pequeña=grupo areolas especializadas.
150. *Thalassiosira eccentrica* -C-71-04-E49B/1127-1,300x.
Escala=10 μ m. MEB. Flechas=procesos de soporte
excéntricos.
151. *T. eccentrica* -C-71-04-E49B/1128-7,800x. Escala=1 μ m.
MEB. Flecha grande=proceso labiado, flechas
pequeñas=procesos de soporte marginales y manto.

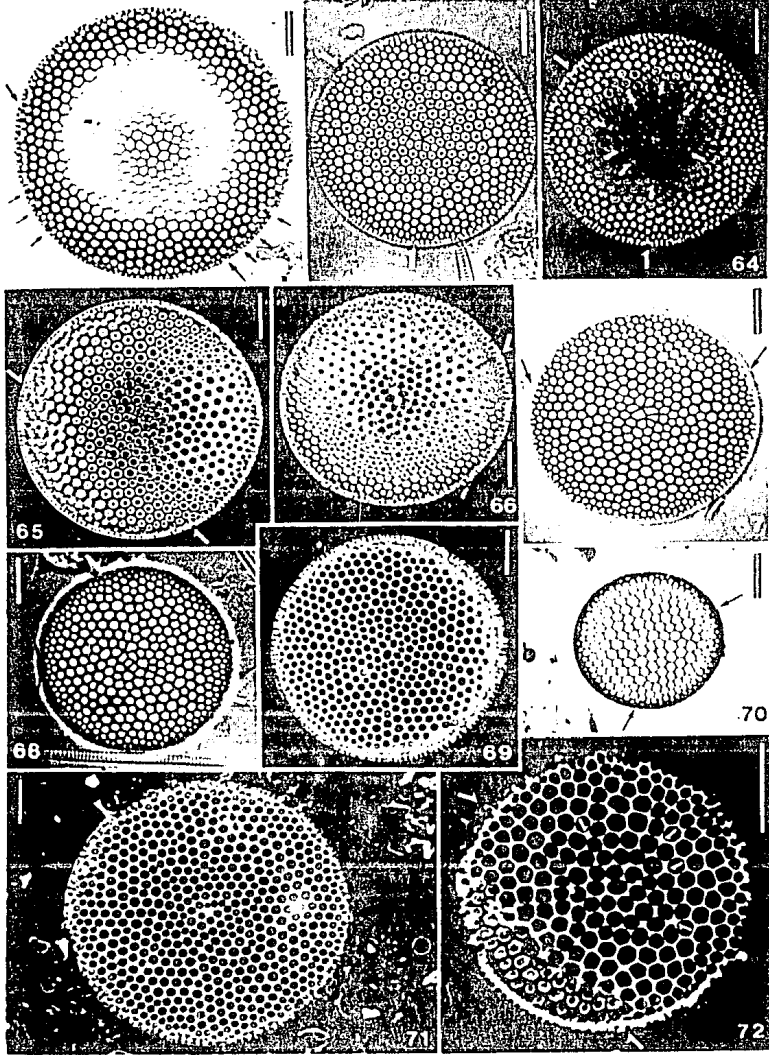


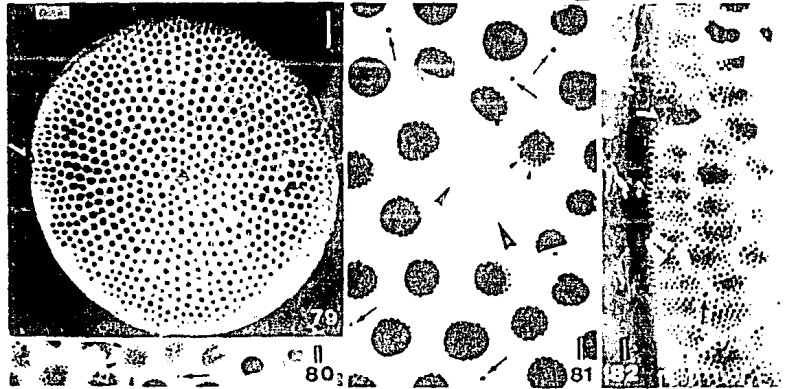
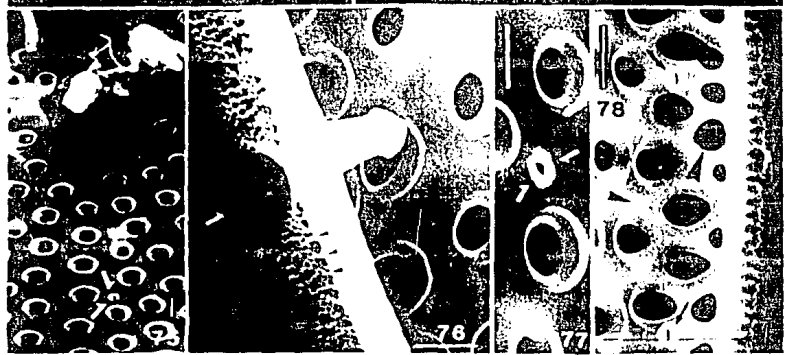
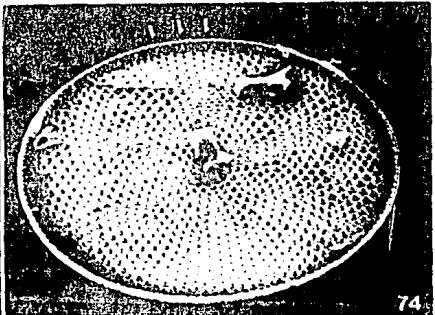
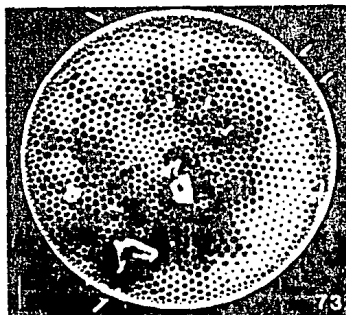


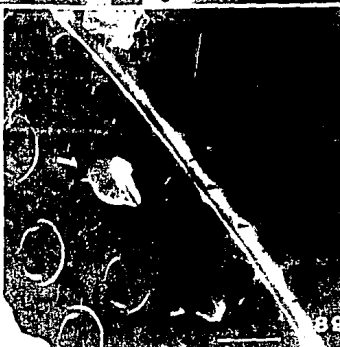
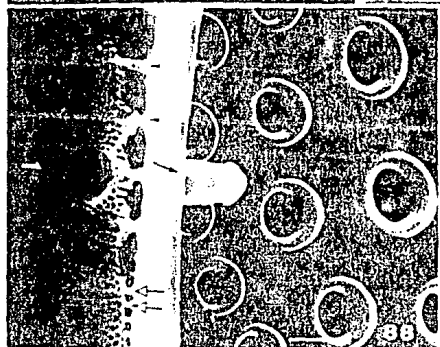
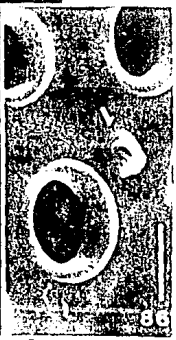
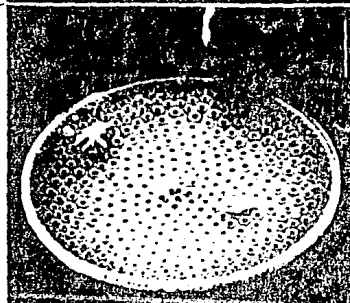
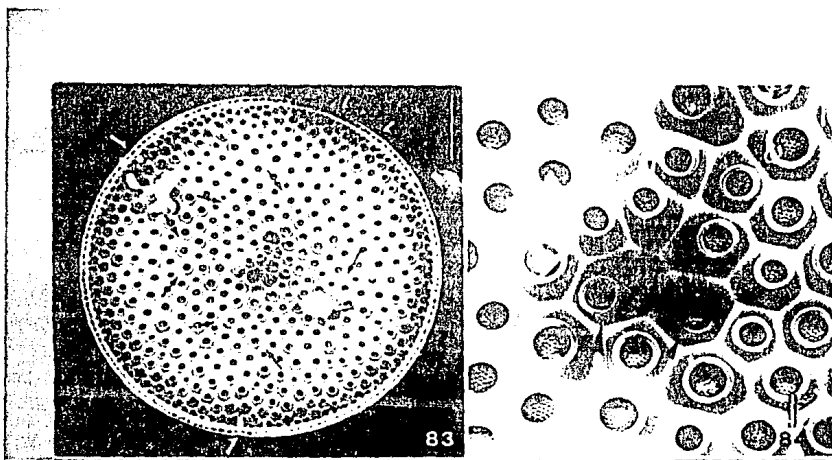


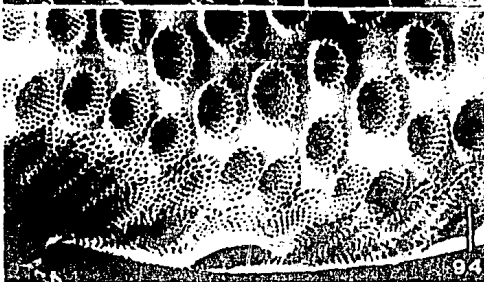
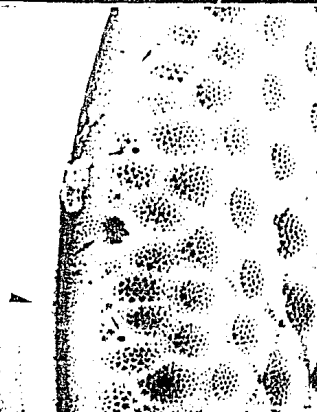
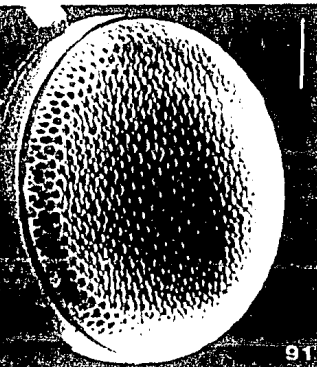
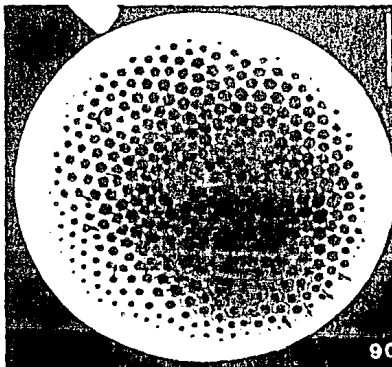


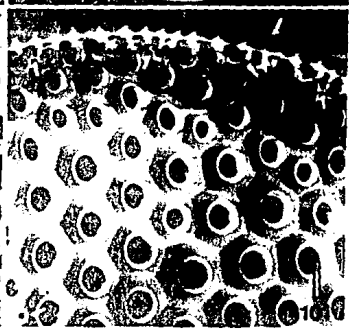
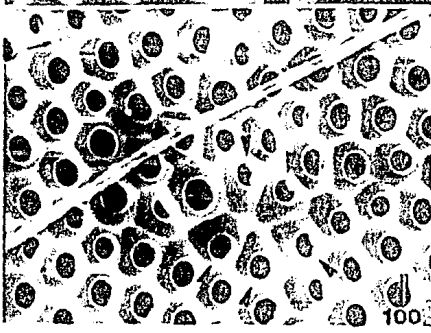
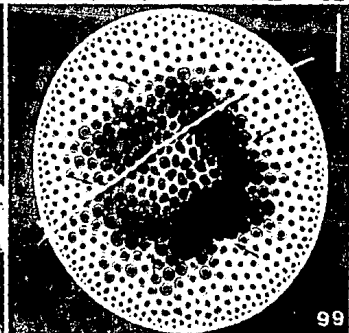
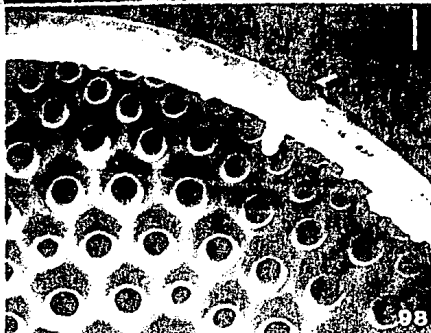
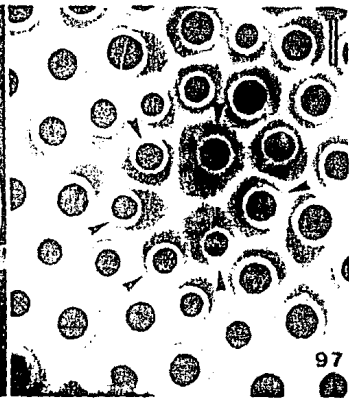
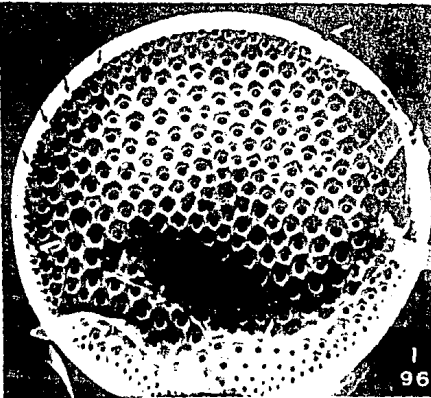


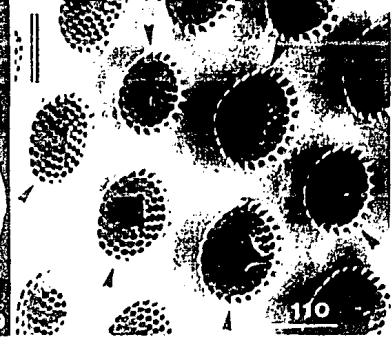
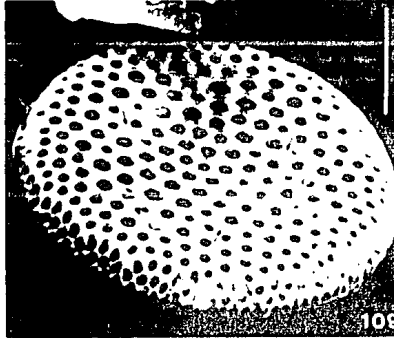
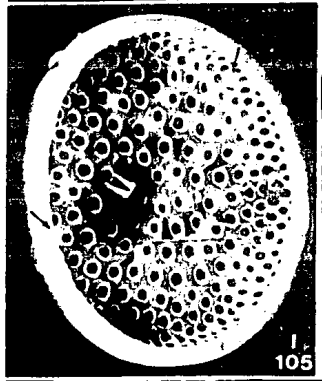
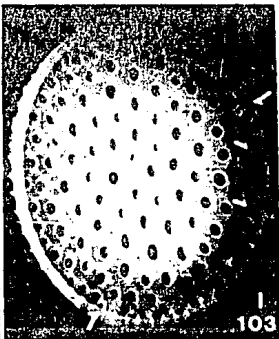
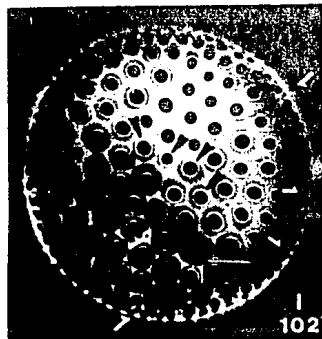


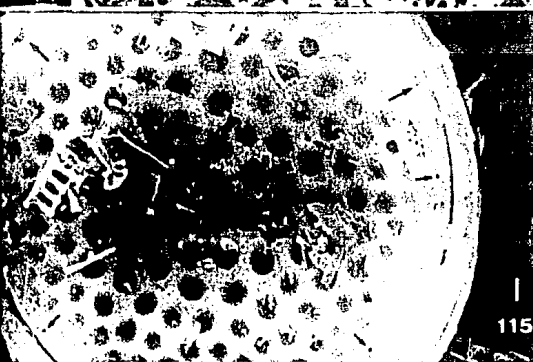
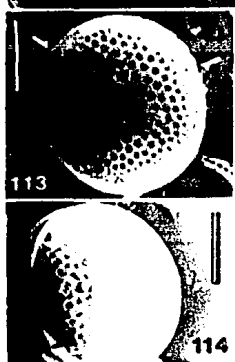
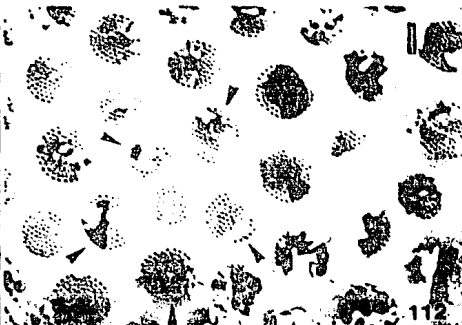
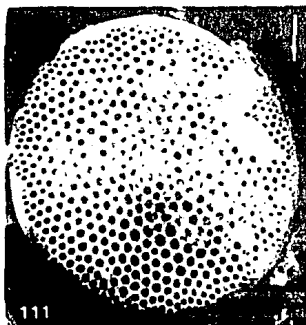






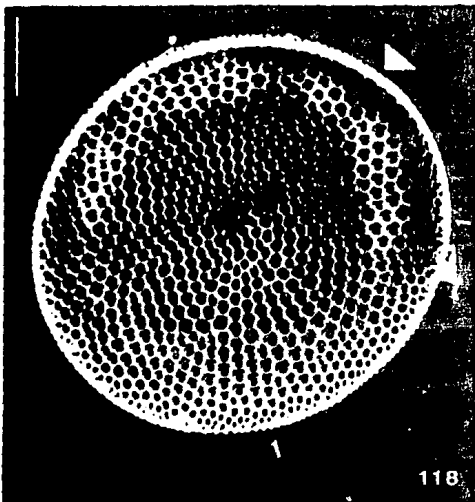




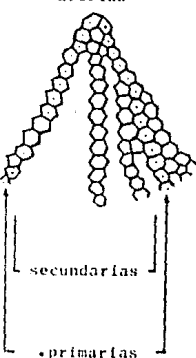


115

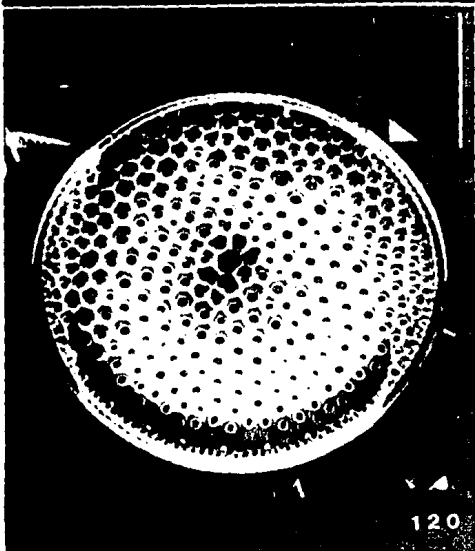




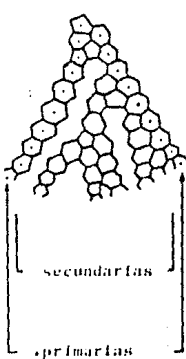
Hileras radiales
de areolas



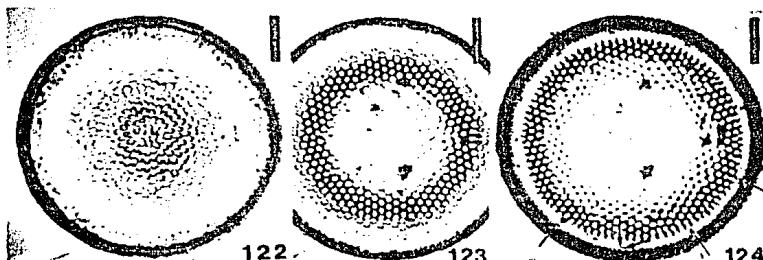
119



Hileras radiales
de areolas



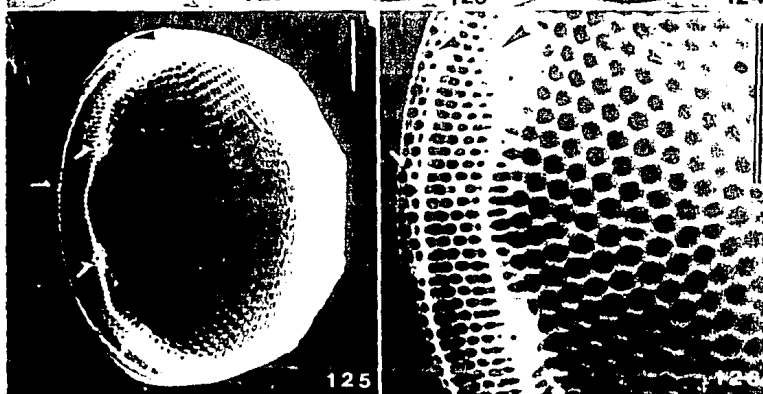
121



122

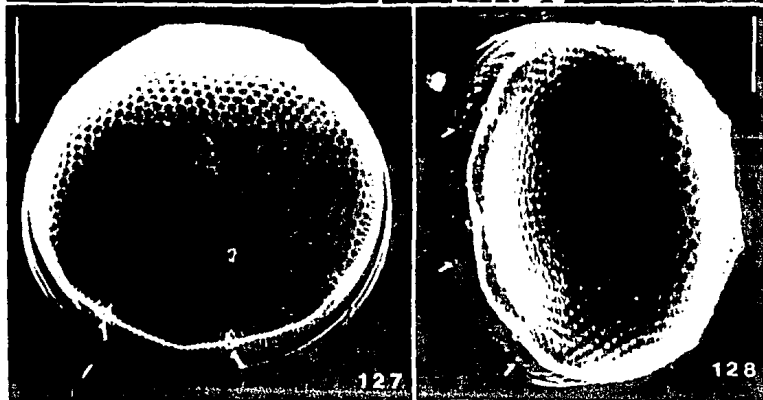
123

124



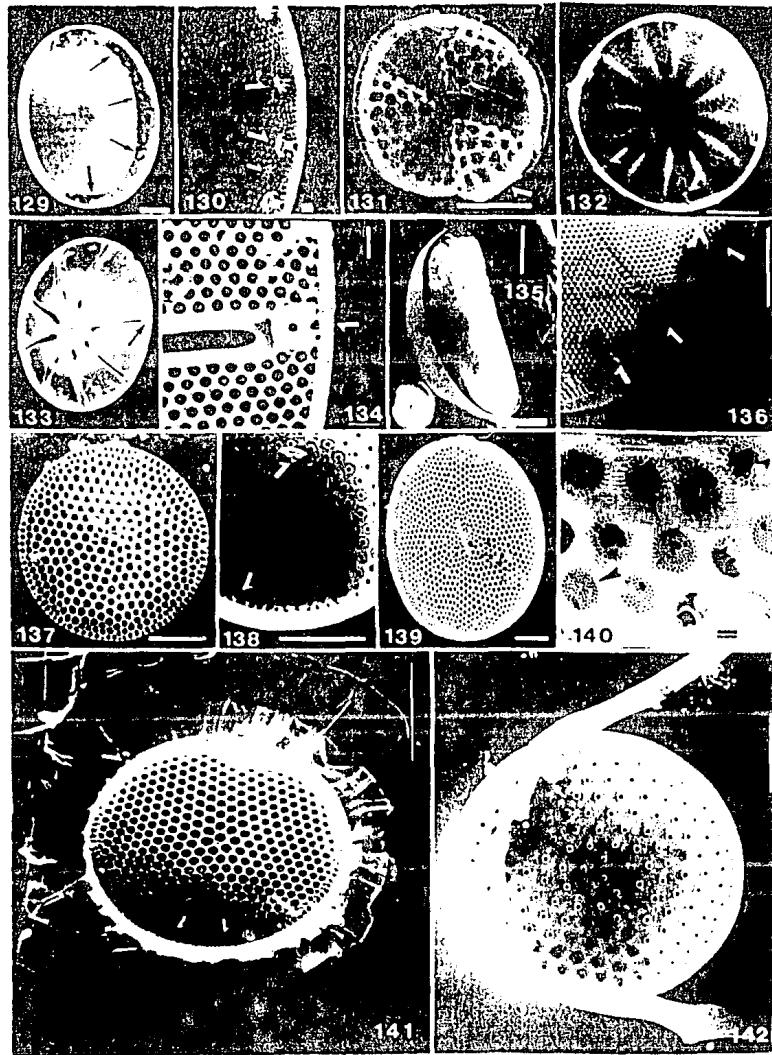
125

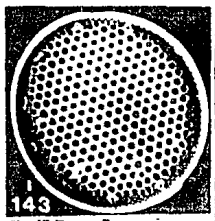
126



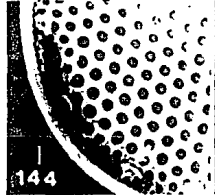
127

128

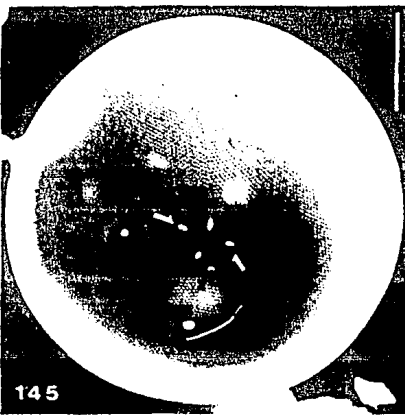




143



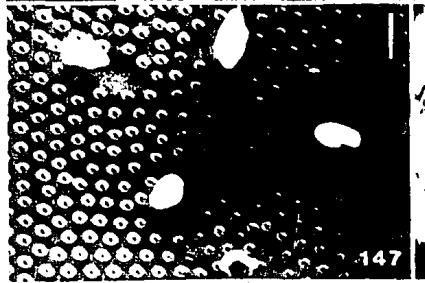
144



145



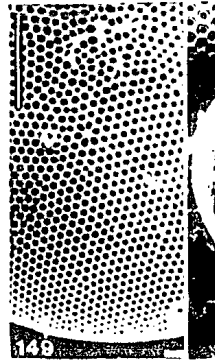
146



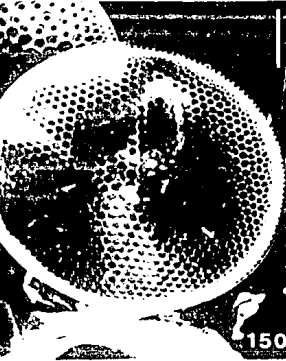
147



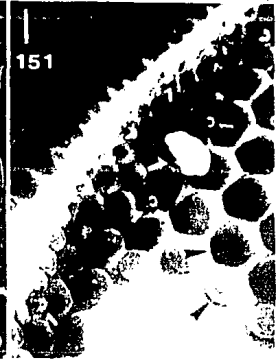
148



149



150



151